



# Electrophysiologie Moléculaire - troubles du rythme et de la conduction cardiaques



**Isabelle BARÓ, PhD**

Equipe Canaux ioniques et arythmies  
cardiaques

L'unité de recherche de l'institut du thorax

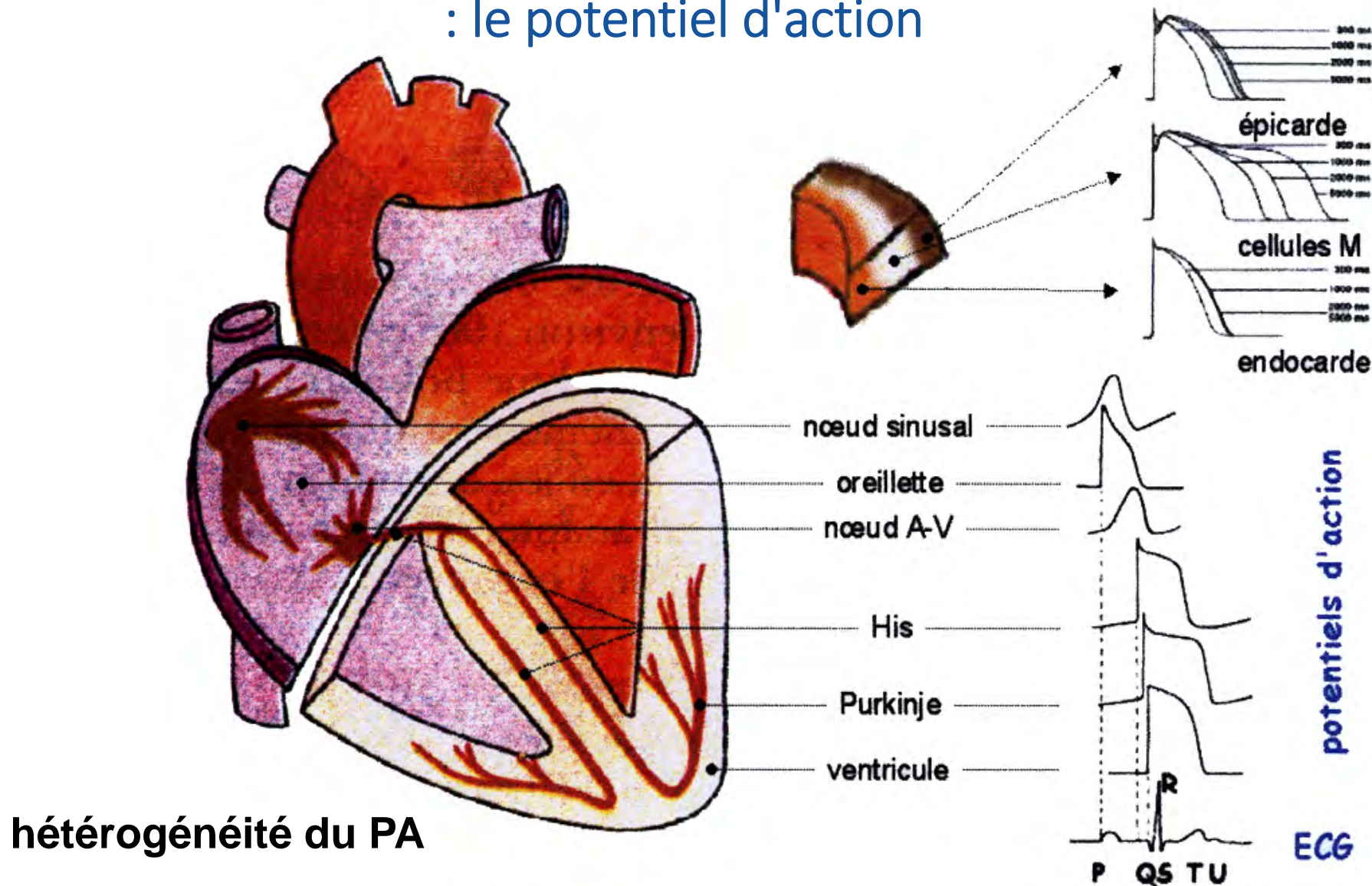
Inserm UMR 1087 / CNRS UMR 6291

Nantes, France

**MASTER 1 Biologie et Santé - Thorax**

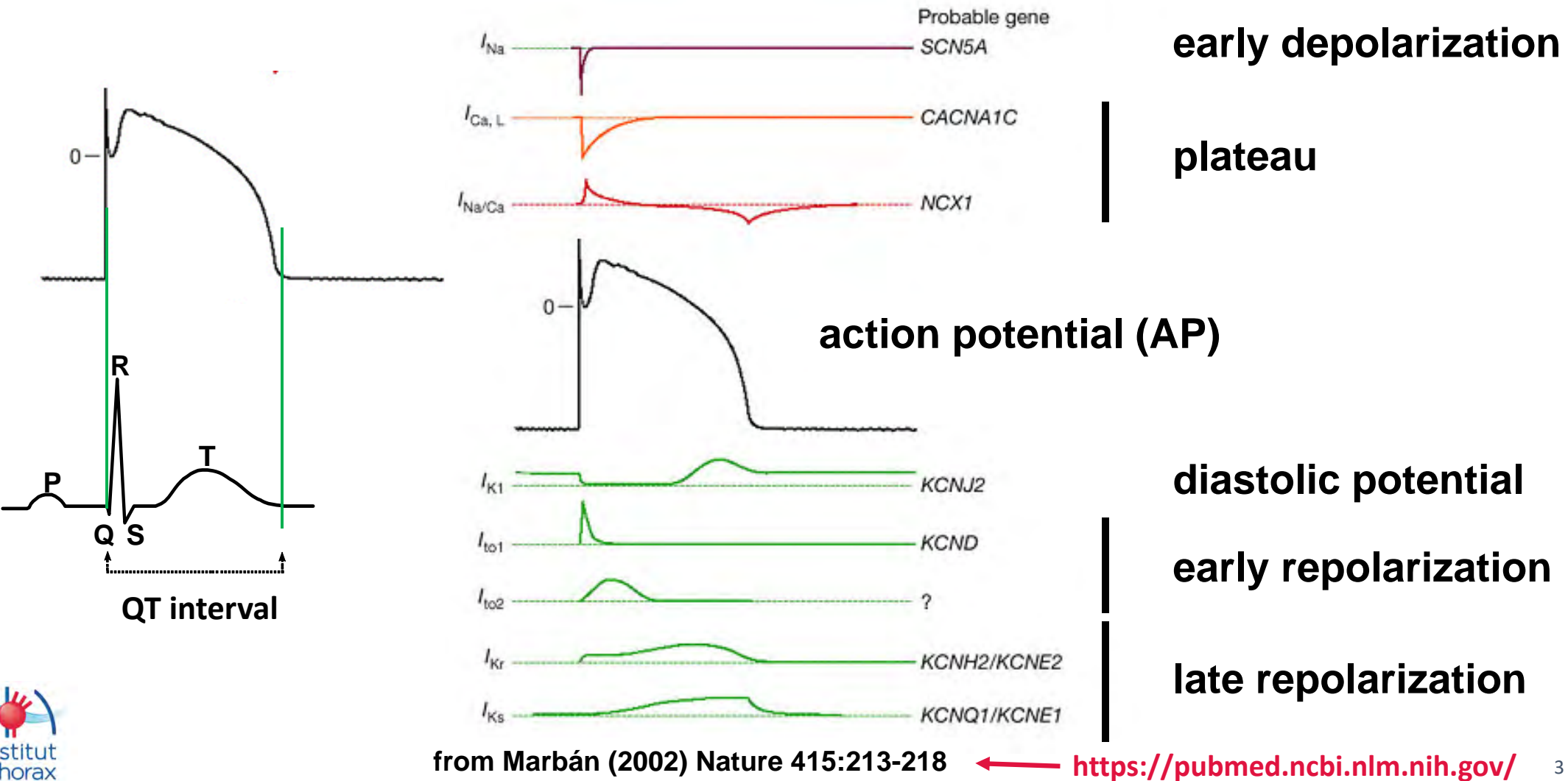
**2022-2023**

# Activité électrique du cardiomycyte : le potentiel d'action

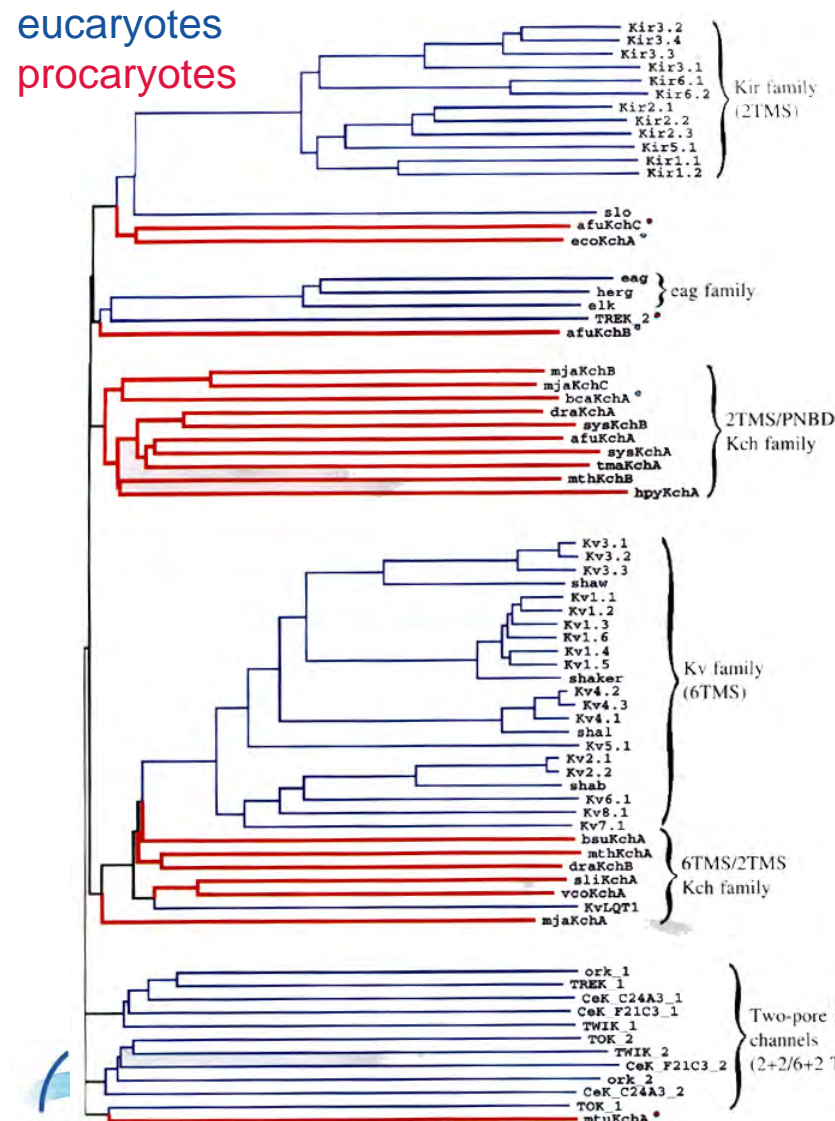


hétérogénéité du PA

# Activité électrique du cardiomyocyte ventriculaire : le potentiel d'action



## dendrogramme



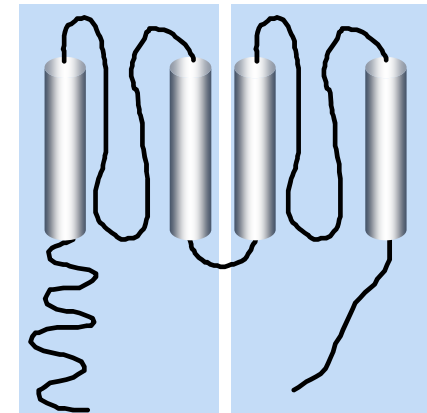
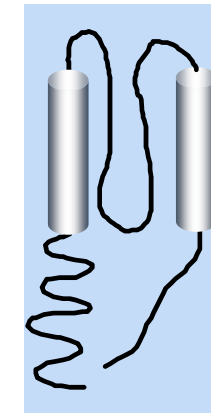
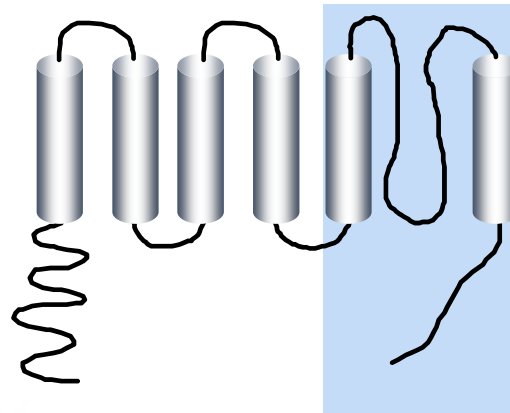
## Canaux potassiques

→ 3 classes

6 segments transmembranaires (TMS) et 1 boucle du pore

2 TMS et 1 boucle du pore

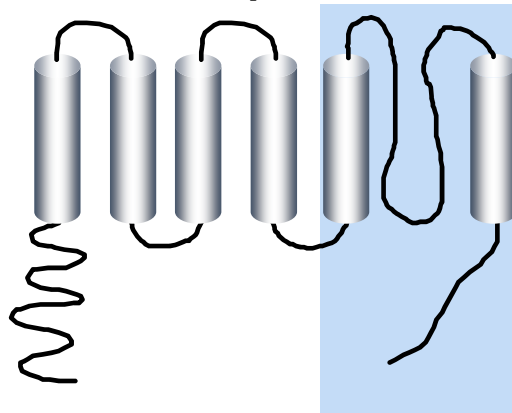
4 TMS et 2 boucles du pore



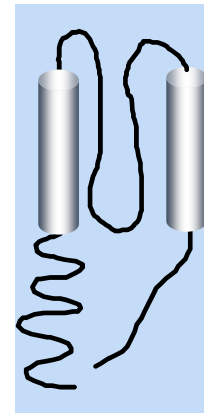
d'après Derst et Karschin J exp Biol (1998) 201:2791

## 3 classes de canaux $K^+$

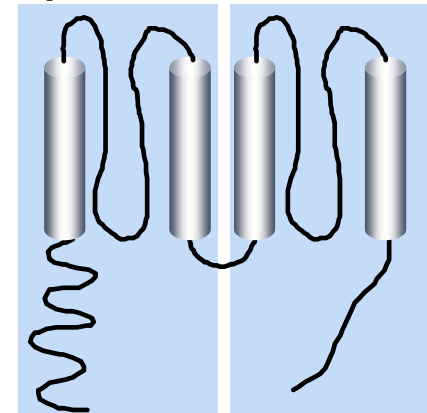
**6 segments transmembranaires (TMS) et 1 boucle du pore**



**2 TMS et 1 boucle du pore**



**4 TMS et 2 boucles du pore**



**Trace hydropathie**

oui  
principalement  
 $V_{membrane}$

oui  
principalement  
ligand: ATP,  
Prot G

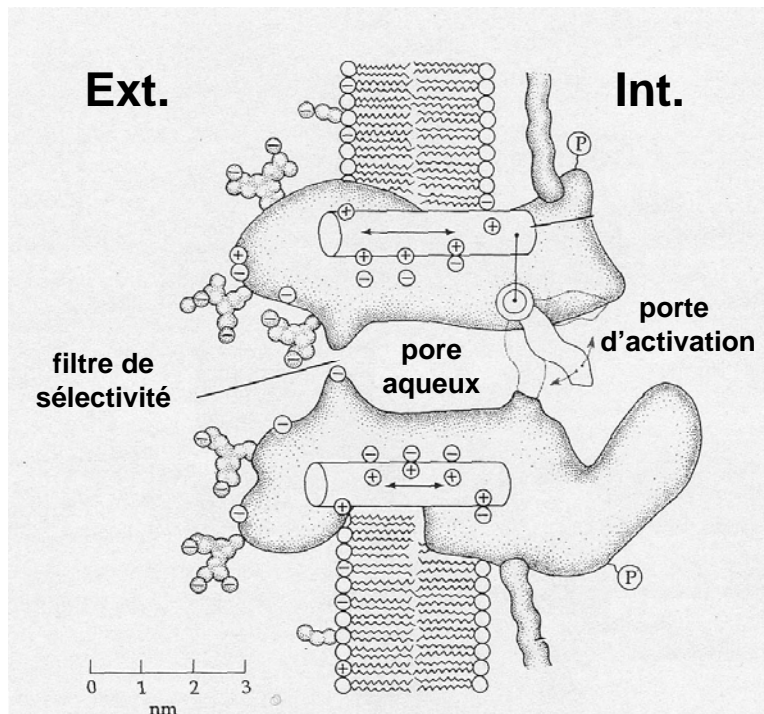
oui  
stimuli  
physiques  
chimiques

**Cibles**

$V_{membrane}$ ; [ion]

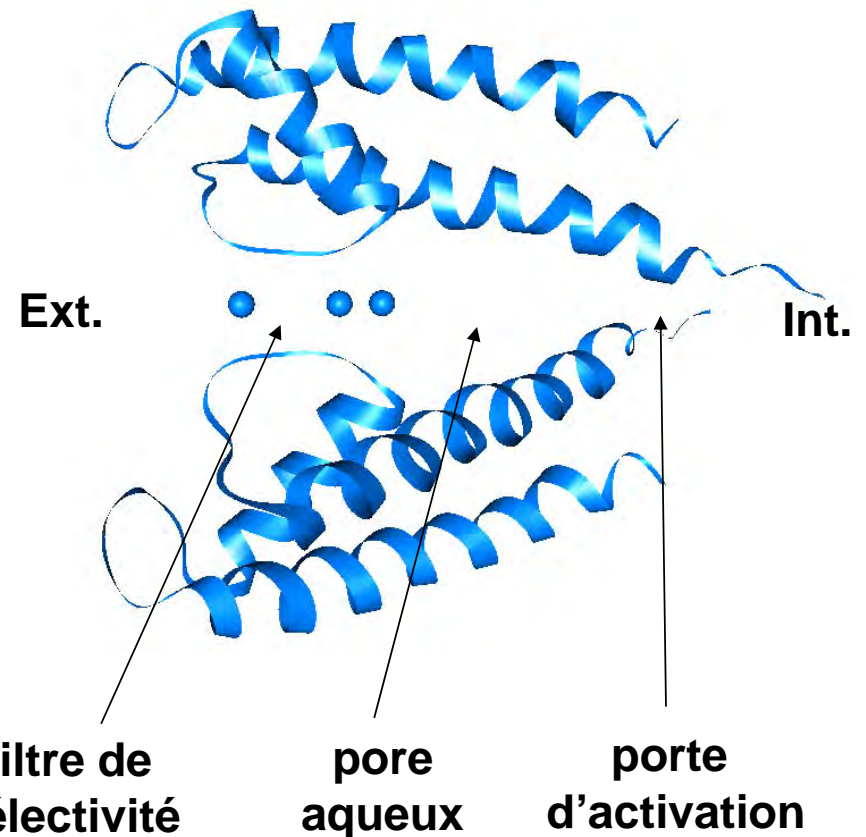
# Structure cristallographique d'un canal $K^+$ à 2 TMS et 1 pore

## Hypothèse de travail (1992)



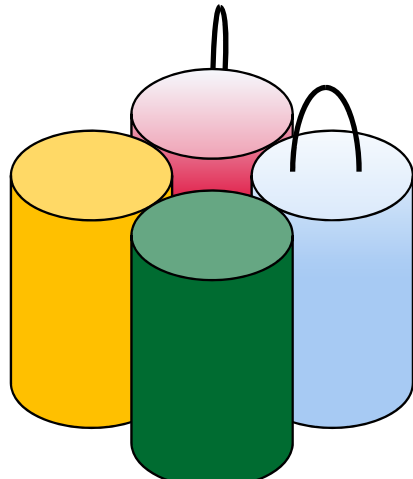
D'après Hille (1992) Sinauer, Sunderland, MA

## Structure de KcsA (1998)



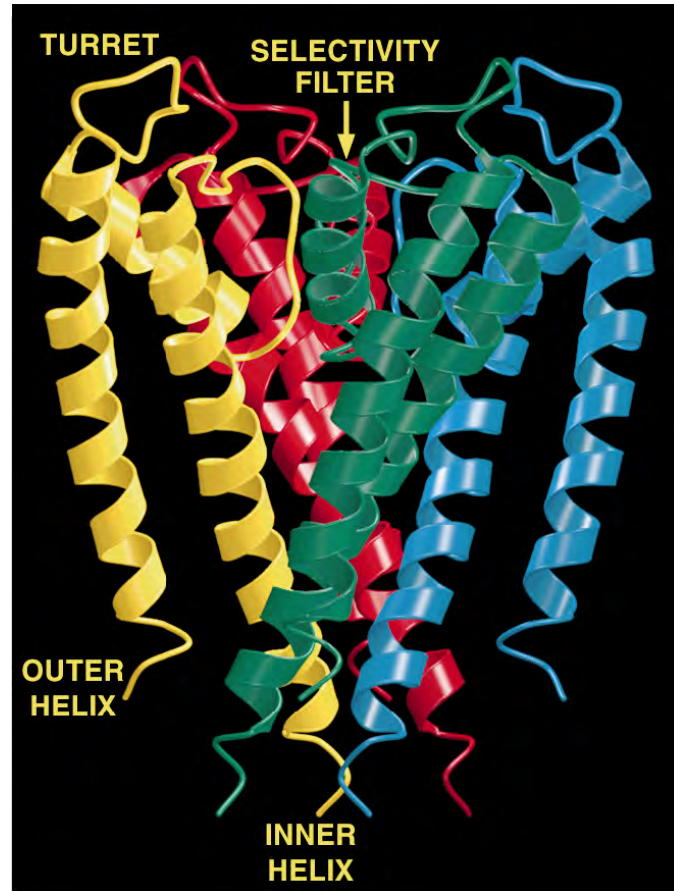
D'après Doyle et al. (1998) Science, 280:69

# Structure cristallographique d'un canal $K^+$ à 2 TMS et 1 pore

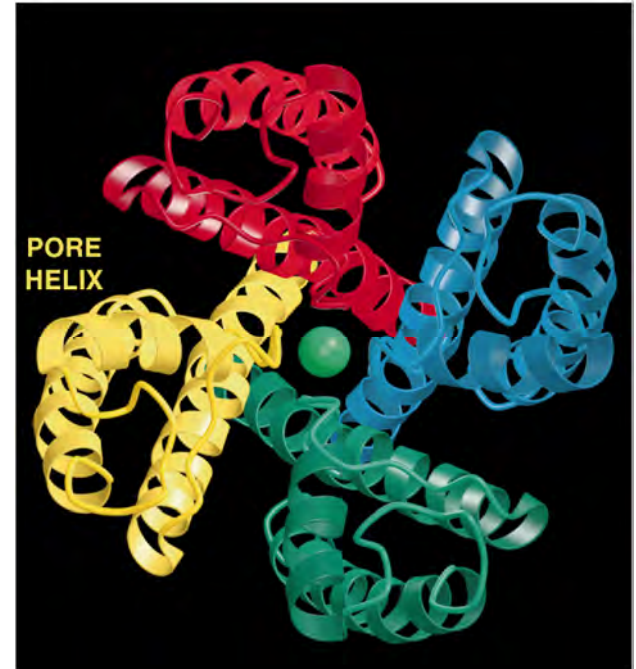


Tétramères

KcSA

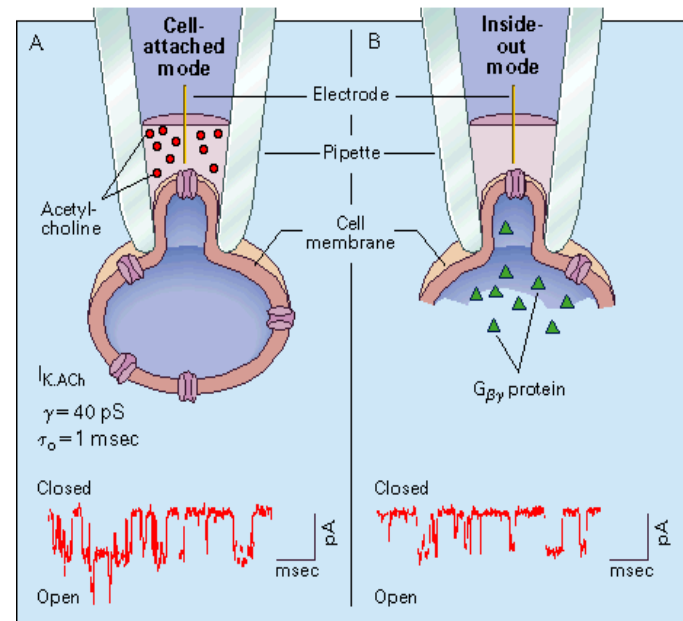
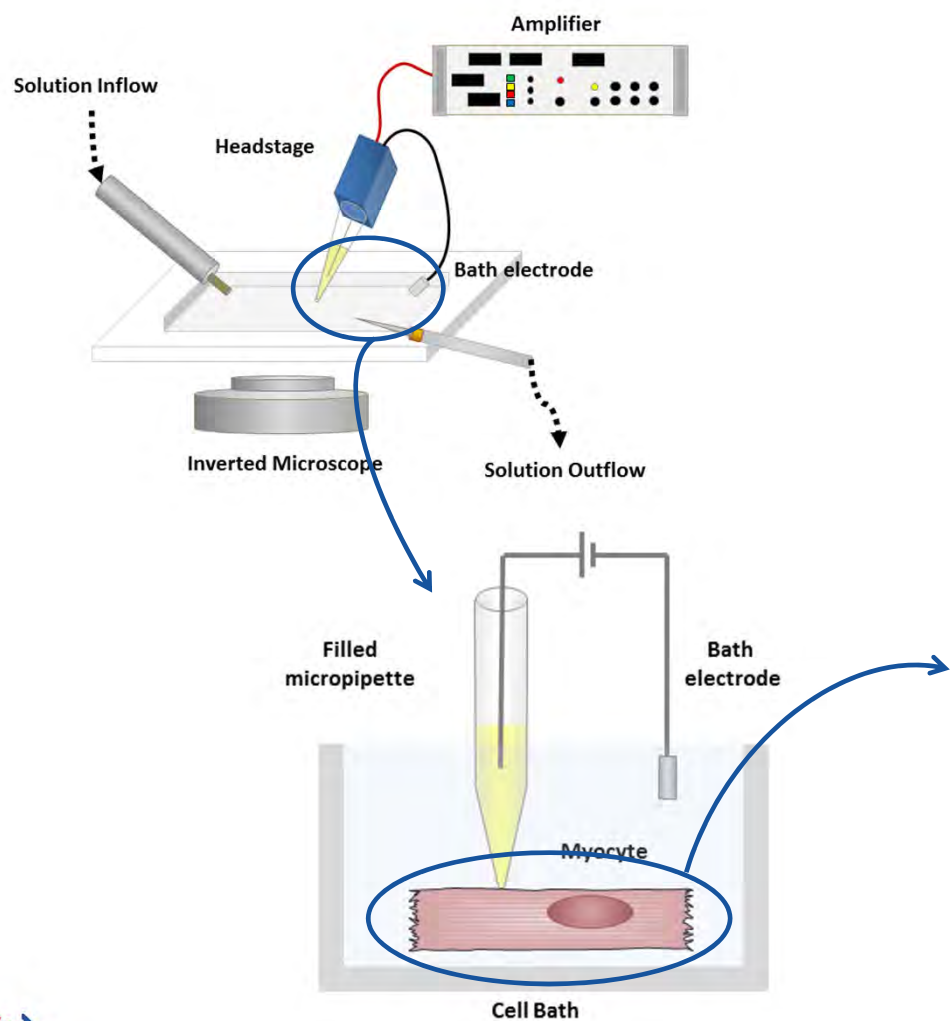


(resolution: 3.2 Å)

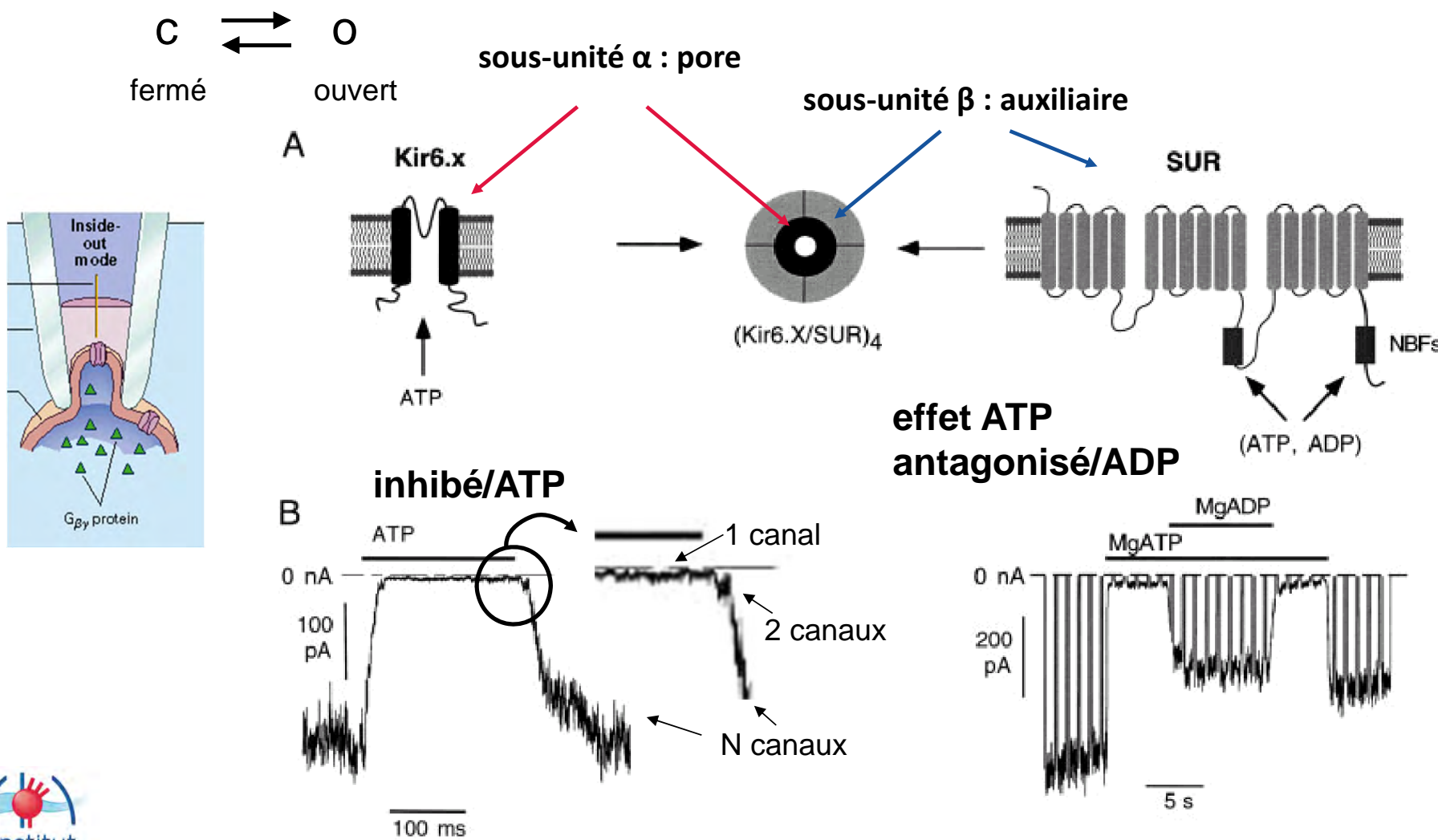


Prix Nobel de Chimie 2003 :  
Roderick Mac Kinnon

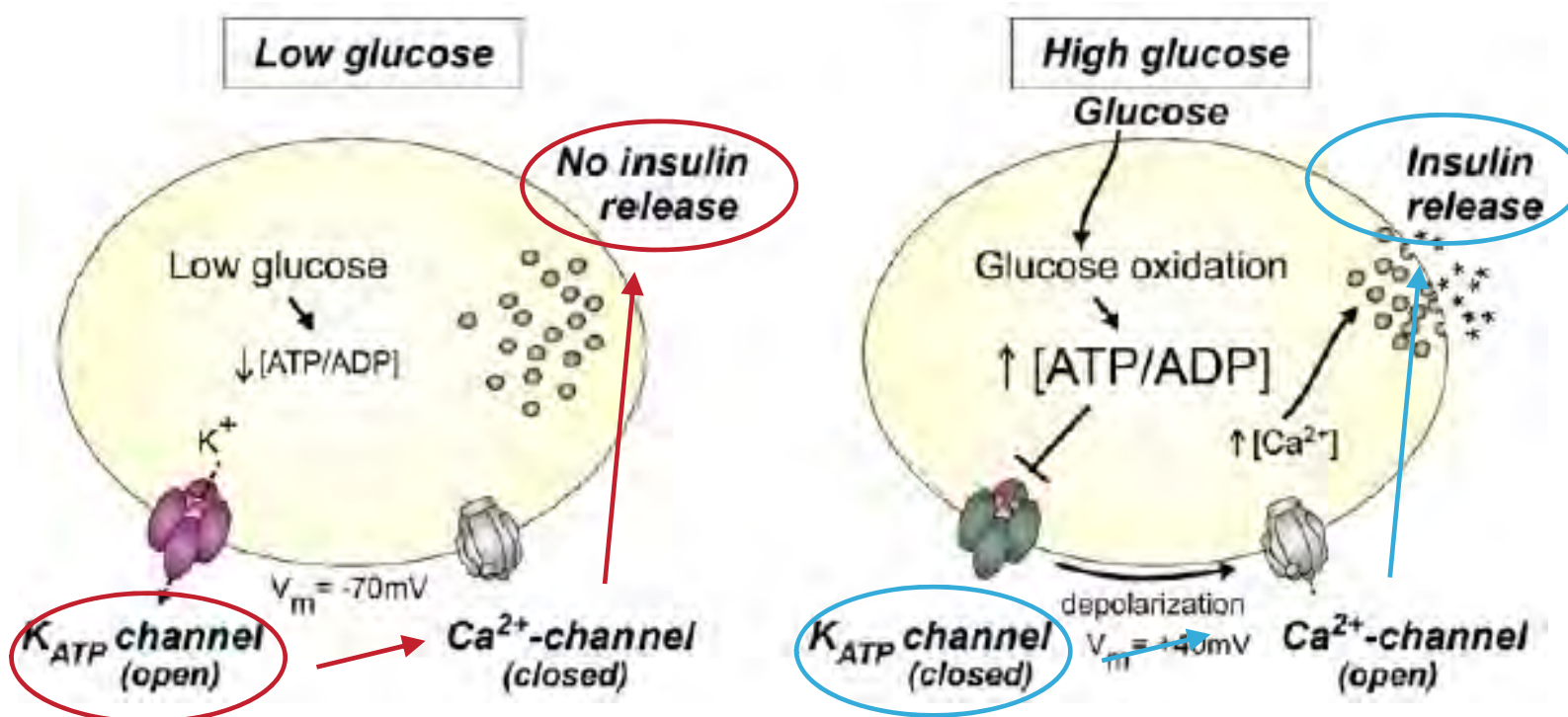
# Enregistrement d'un courant unitaire : le patch-clamp



# canaux $K_{ATP}$ du pancréas (cellules $\beta$ des îlots de Langerhans)



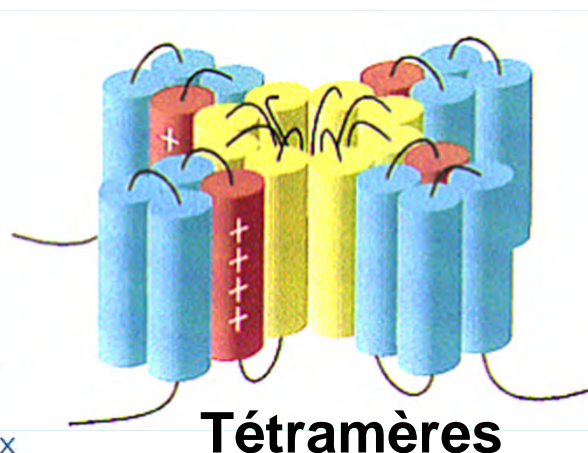
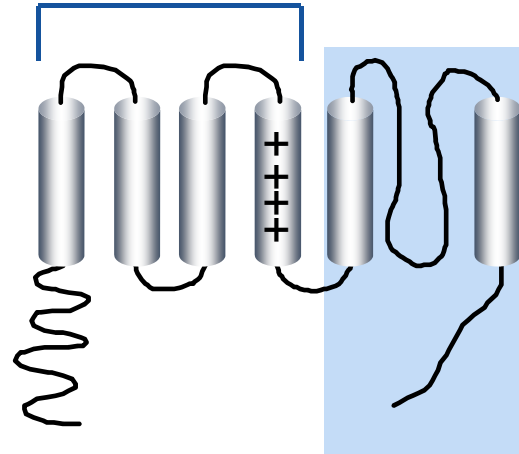
# canaux $K_{ATP}$ du pancréas (cellules $\beta$ ) rôle dans la sécrétion d'insuline



Remedi & Koster (2010) Pflugers Arch - Eur J Physiol 460:307

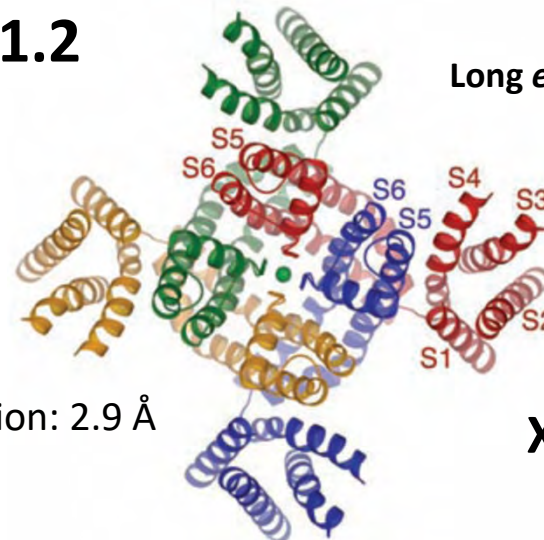
# Structure d'un canal $K^+$ 6 TMS et 1 pore

voltage sensor



Tétramères

Kv1.2

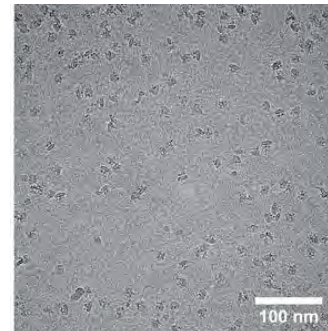


Long *et al.* (2005) Science 309:897

resolution: 2.9 Å

X-ray crystallography

hERG



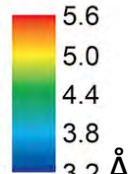
Wang *et al.* (2017) Cell 169:422

~144,000 particles



10 nm

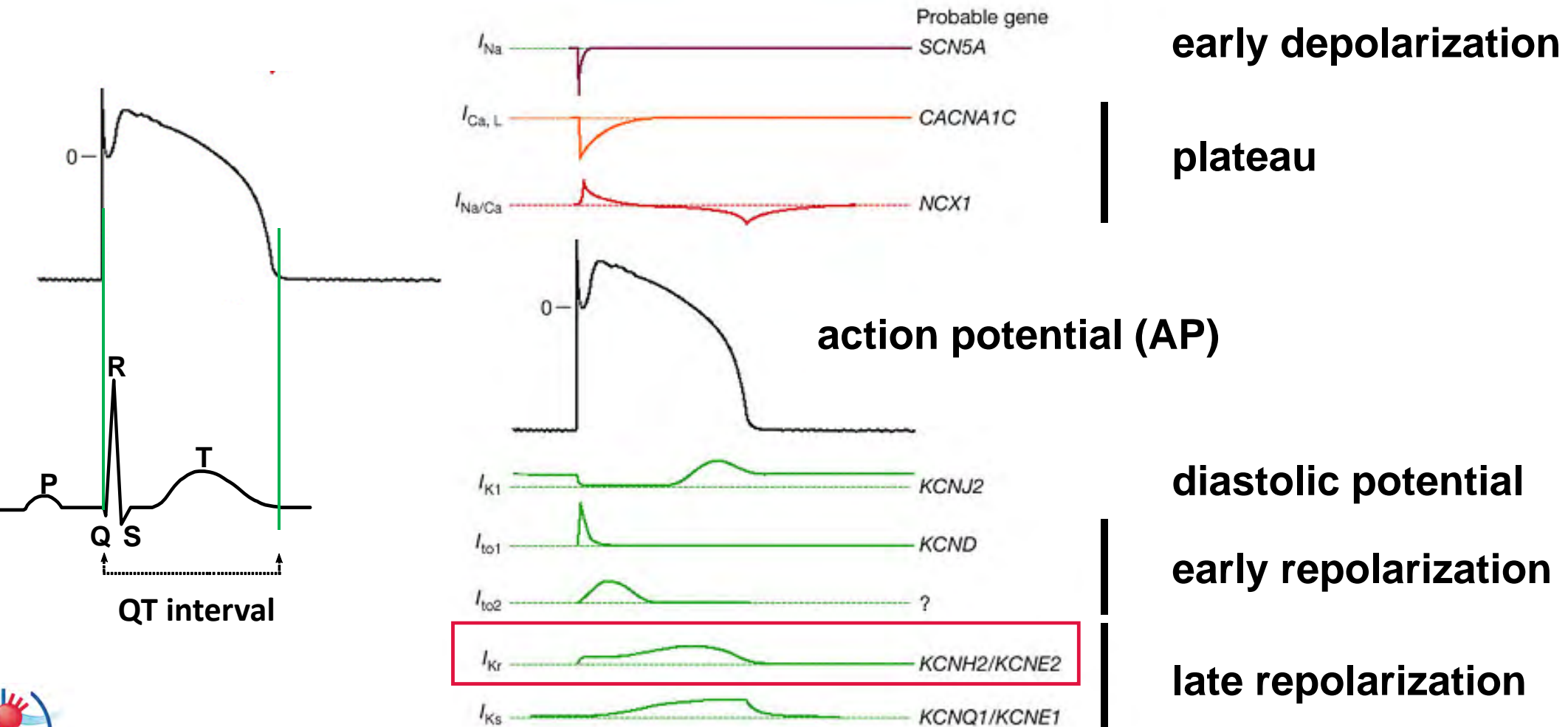
resolution:



Cryo-electron microscopy

11

# Activité électrique du cardiomyocyte ventriculaire : le potentiel d'action



# Etude d'une mutation de hERG associée au Syndrome du QT long

- **Syndrome du QT long (ECG : intervalle QTc > 450-470 ms), fibrillation ventriculaire (torsades de pointes), mort subite**

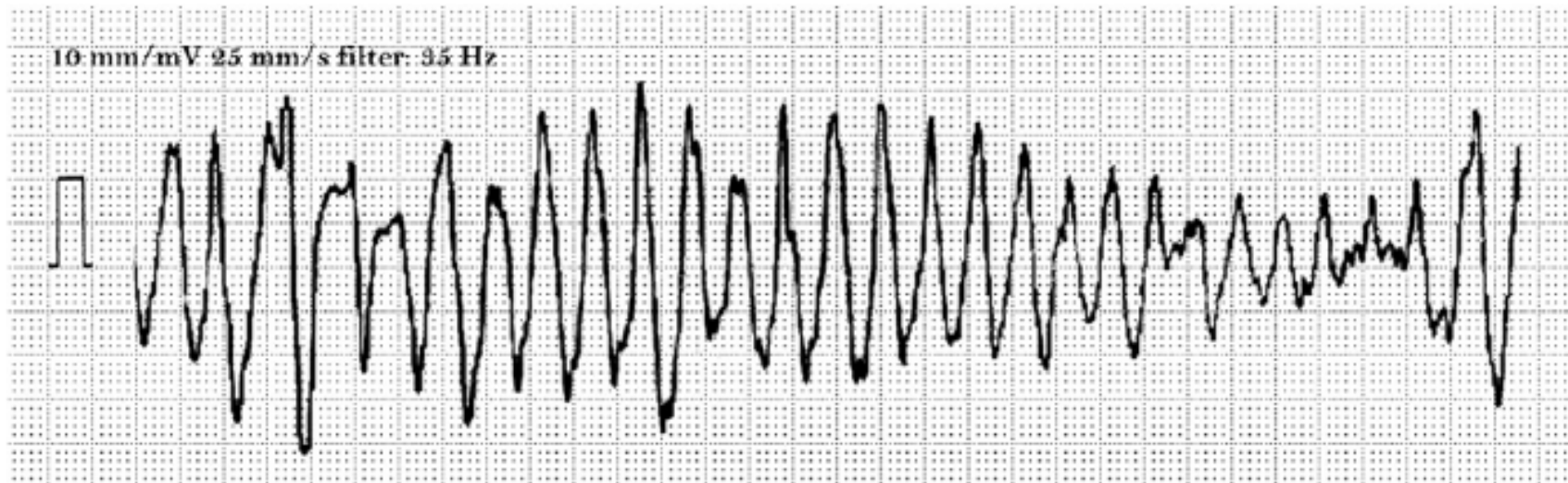


Fig. 1. ECG recording showing an ongoing episode of Torsade de pointes. This polymorphic ventricular arrhythmia is characterized by the progressive rotation of the electrical axis (180 ° in about 10–12 cycles) which shows on the surface ECG as the sinusoidal undulation of the electrical signal.

# Etude d'une mutation de hERG associée au Syndrome du QT long

Table 1 Classification of genes responsible for cardiac channelopathies. Adapted from Schwartz et al. [2]

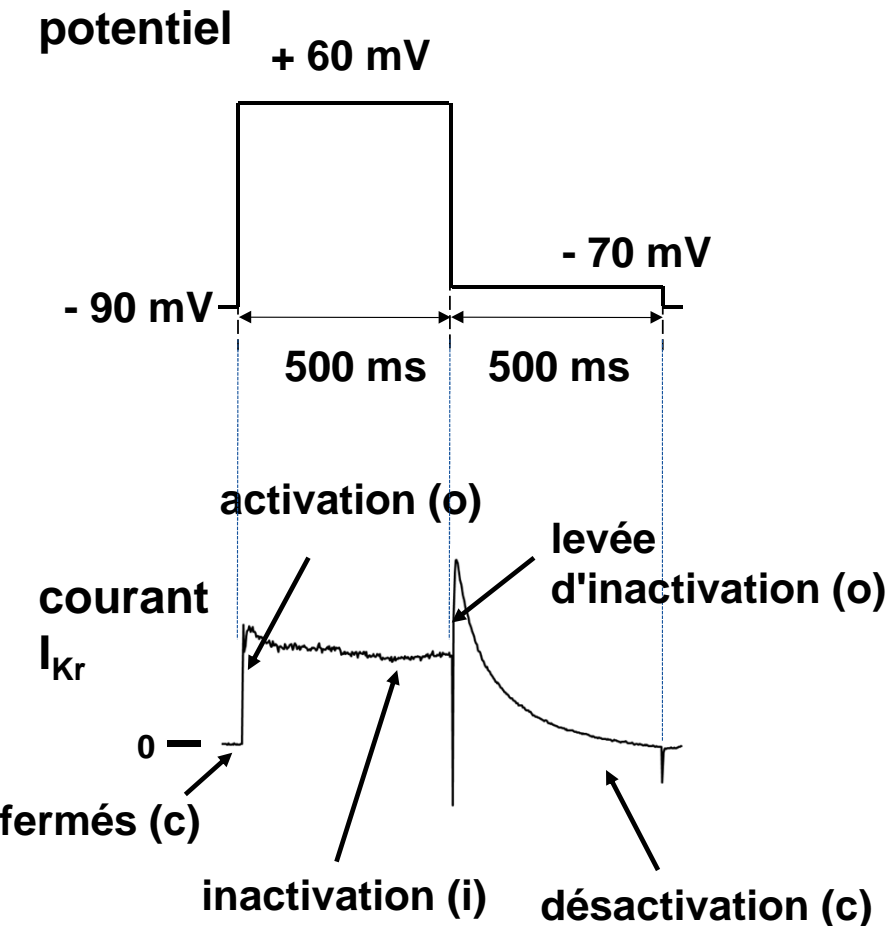
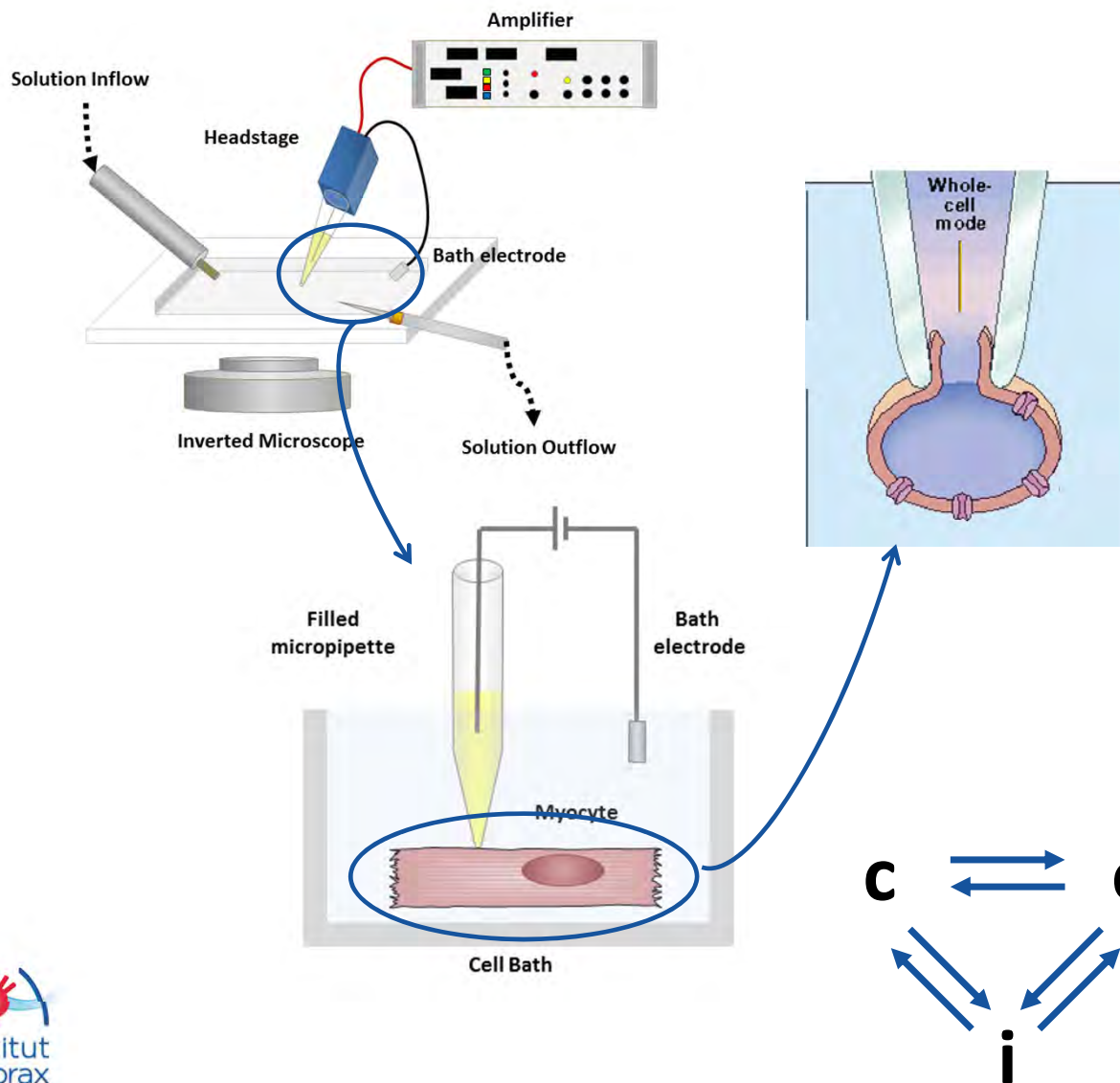
LQTS type	Gene	Mutation frequency among LQTS population (%)	Locus	Protein (functional effect)
Romano-Ward (RWS) <b>mut/WT</b>				
LQT1	KCNQ1	40–55	11p15.5	K <sub>V</sub> 7.1 (↓)
LQT2	KCNH2	30–45	7q35–36	K <sub>V</sub> 11.1 (↓)
LQT3	SCN5A	5–10	3p21–24	Na <sub>V</sub> 1.5 (↑)
LQT4	ANKB	< 1	4q25–27	Ankyrin B (↓)
LQT5	KCNE1	< 1	21q22.1	MinK (↓)
LQT6	KCNE2	< 1	21q22.1	MiRP1 (↓)
LQT7	KCNJ2	< 1	17q23	Kir2.1 (↓)
LQT8	CACNA1C	< 1	12p13.3	L-type calcium channel (↑)
LQT9	CAV3	< 1	3p25	Caveolin 3 (↓)
LQT10	SCN4B	< 1	11q23.3	Sodium channel-β4 (↓)
LQT11	AKAP9	< 1	7q21–22	Yotiao (↓)
LQT12	SNTA1	< 1	20q11.2	Syntrophin α1 (↓)
LQT13	KCNJ5	< 1	11q24	Kir3.4 (↓)
LQT14	CALM1	< 1	14q32.11	Calmodulin 1 (dysfunctional Ca <sup>2+</sup> signaling)
LQT15	CALM2	< 1	2p21	Calmodulin 2 (dysfunctional Ca <sup>2+</sup> signaling)
Jervell and Lange-Nielsen syndrome (JLNS) <b>mut/mut</b>				
JLN1	KCNQ1	< 1	11p15.5	K <sub>V</sub> 7.1 (↓)
JLN2	KCNE1	< 1	21q22.1–22.2	MinK (↓)

Arrows up (↑) or down (↓) showing gain or loss of protein function, respectively

LQT long QT, RWS Romano–Ward syndrome, JLNS Jervell and Lange-Nielsen syndrome

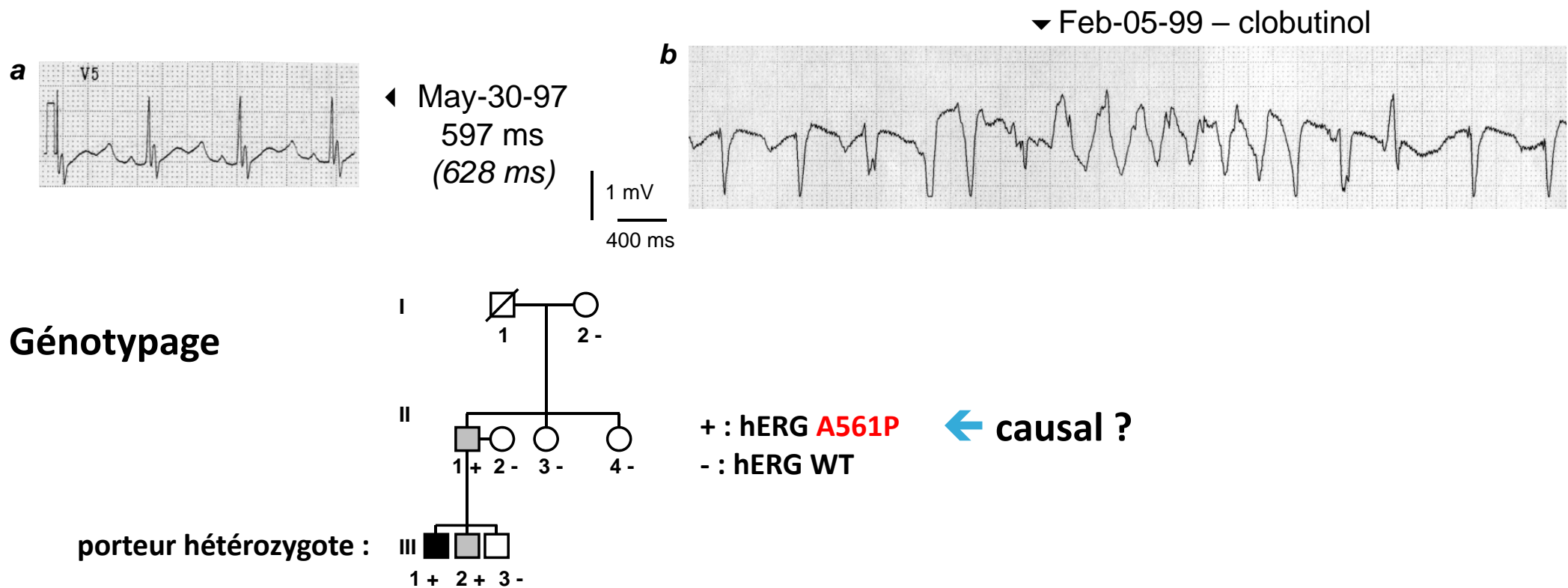
Wallace *et al.* (2019) *Pediatric cardiol* 40:1419

# Enregistrement d'un courant trans-membranaire : le patch-clamp



# Etude d'une mutation de hERG associée au Syndrome du QT long

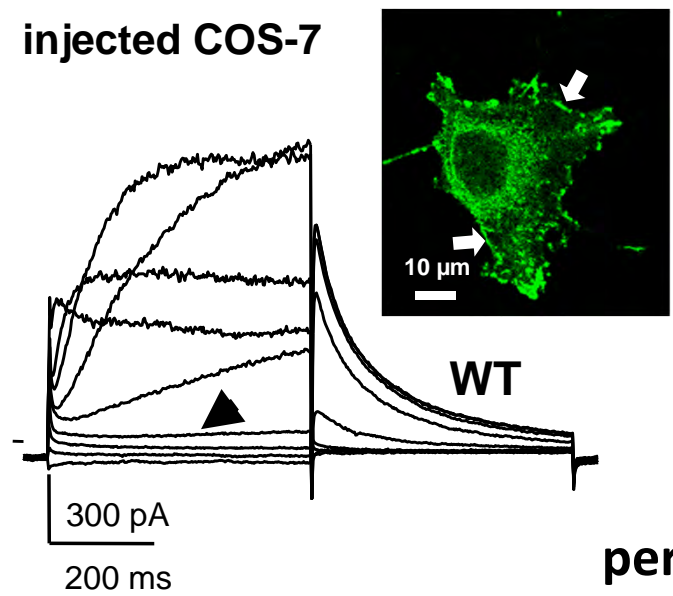
**Propositus : fibrillation ventriculaire (torsades de pointes)**



## Modèles cellulaires

- Lignées cellulaires modifiées - canalopathies monogéniques  
expression hétérologue de protéines WT et mutées

injected COS-7

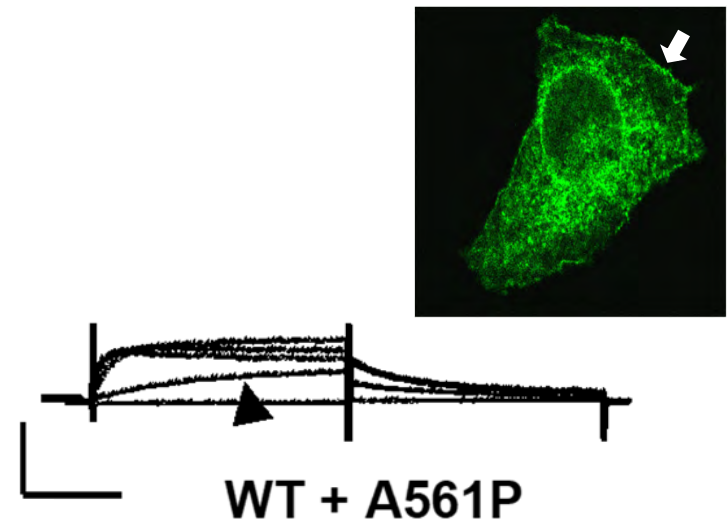
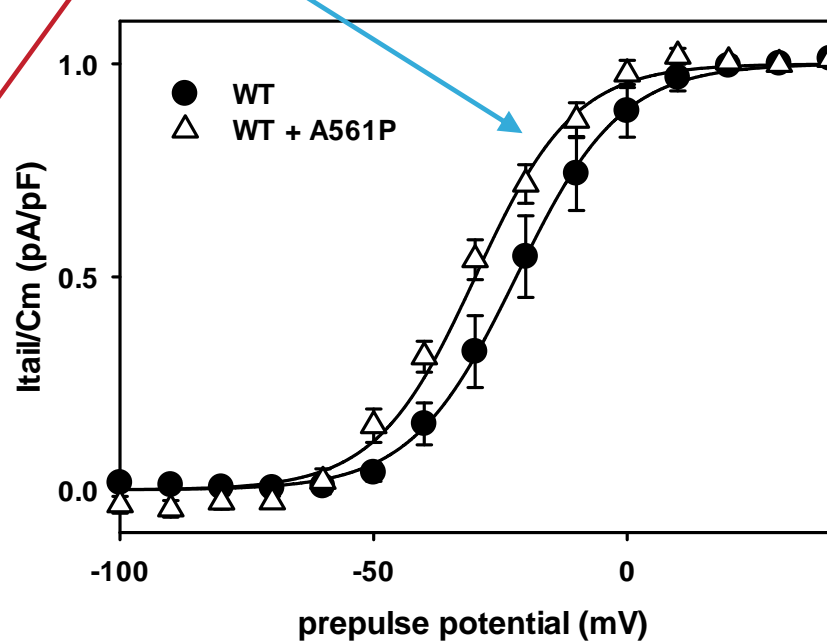
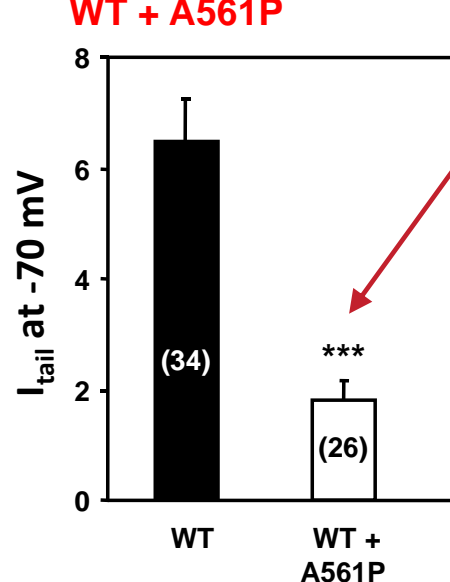


WT

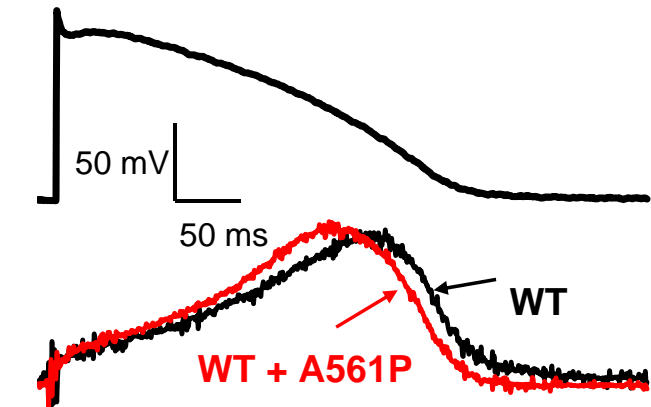
perte/gain de fonction ?

A561P

WT + A561P



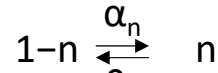
WT + A561P



# Modèles *in silico*

- Modèle de potentiel d'action ventriculaire humain Priebe and Beuckelmann (1998) -  
modèle d'Hodgkin et Huxley (Prix Nobel de Physiologie 1963)

$$I_K = n^4 \bar{g}_K (V - E_K)$$



$$\frac{dn}{dt} = \alpha_n(1-n) - \beta_n n$$

Rapidly Activating Current:  $I_{Kr}$

$$I_{Kr} = g_{Kr,max} \cdot X_r \cdot rik \cdot (V - E_K)$$

$$E_K = (RT/F) \cdot \ln([K^+]_o/[K^+]_i)$$

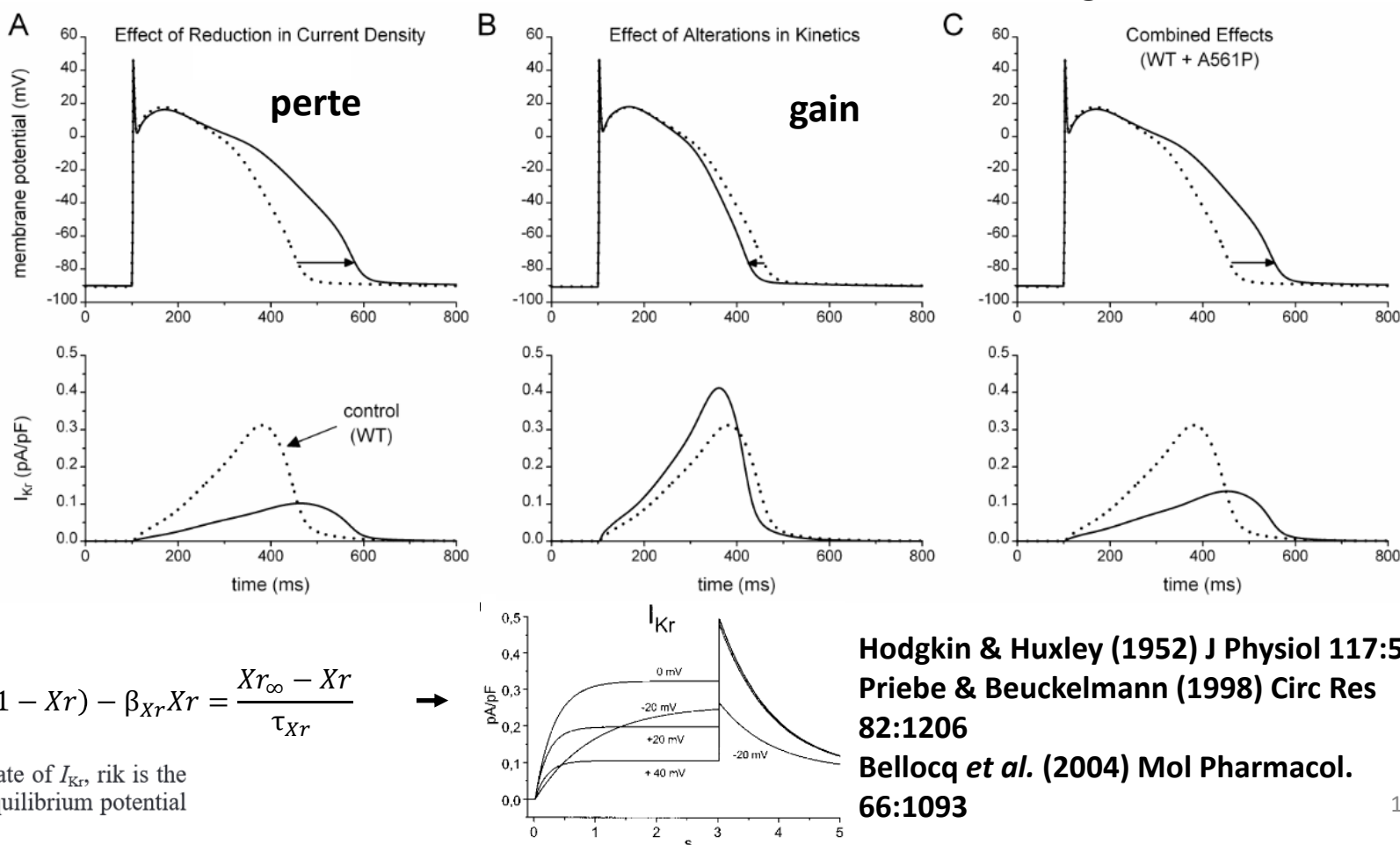
$$g_{Kr,max} = 0.015 \text{ mS}/\mu\text{F}$$

$$\alpha_{Xr} = \{0.005 \cdot \exp[5.266 \cdot 10^{-4} \cdot (V + 4.067)]\} / \{1 + \exp[-0.1262 \cdot (V + 4.067)]\}$$

$$\beta_{Xr} = \{0.016 \cdot \exp[1.6 \cdot 10^{-3} \cdot (V + 65.66)]\} / \{1 + \exp[0.0783 \cdot (V + 65.66)]\}$$

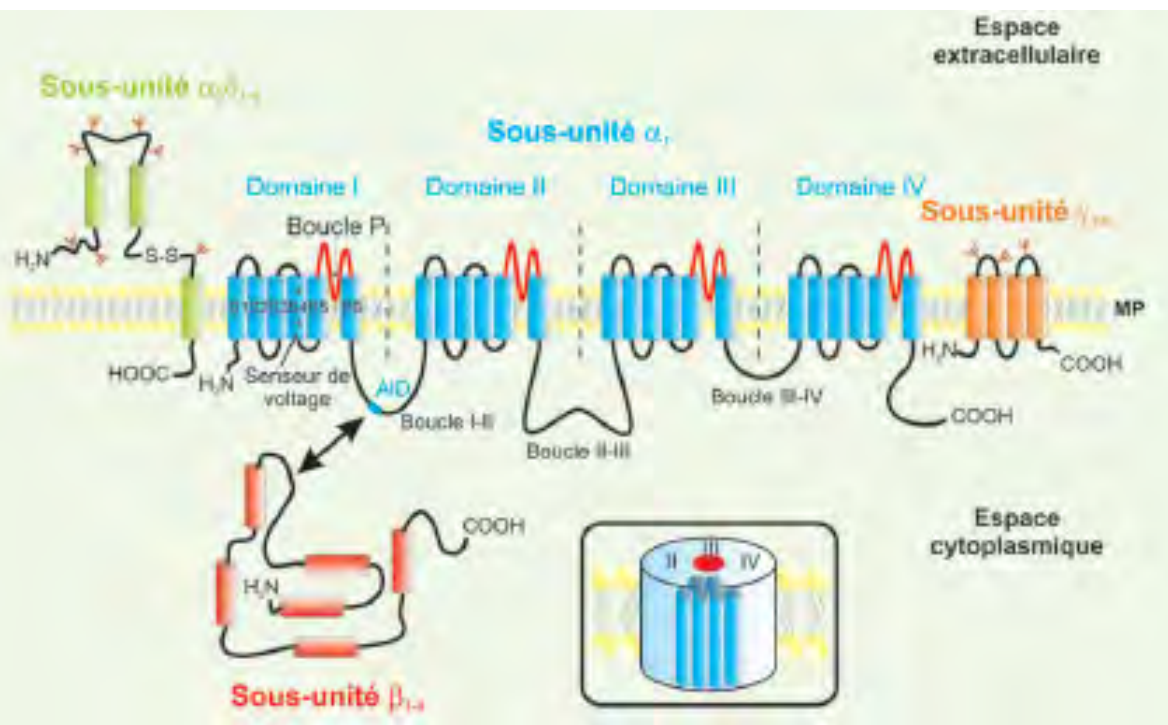
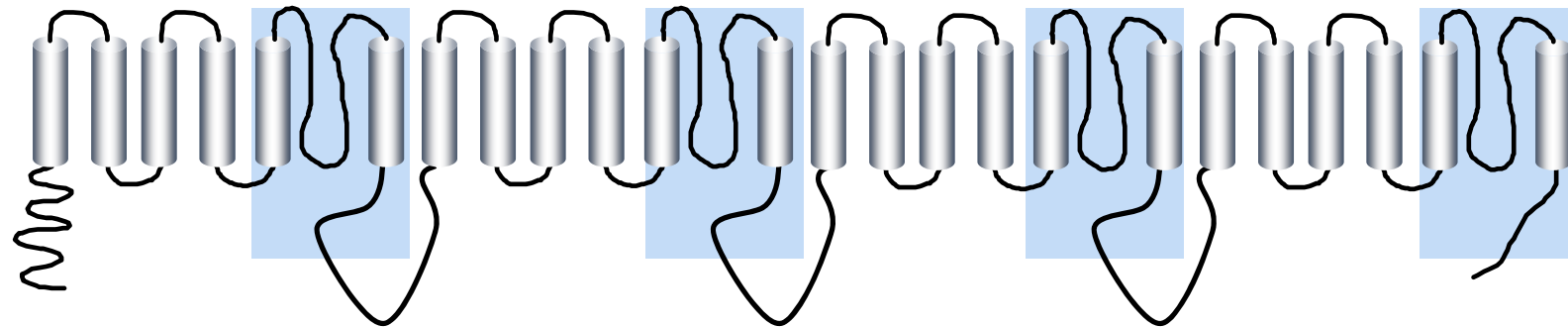
$$rik = 1 / \{1 + \exp[(V + 26) / 23]\} \quad \frac{dXr}{dt} = \alpha_{Xr}(1 - Xr) - \beta_{Xr}Xr = \frac{Xr_\infty - Xr}{\tau_{Xr}}$$

where  $g_{Kr,max}$  is  $g_{max}$  for  $I_{Kr}$ ,  $X_r$  is the activation gate of  $I_{Kr}$ ,  $rik$  is the inward-rectification factor of  $I_{Kr}$ , and  $E_K$  is the equilibrium potential for  $I_K$ .

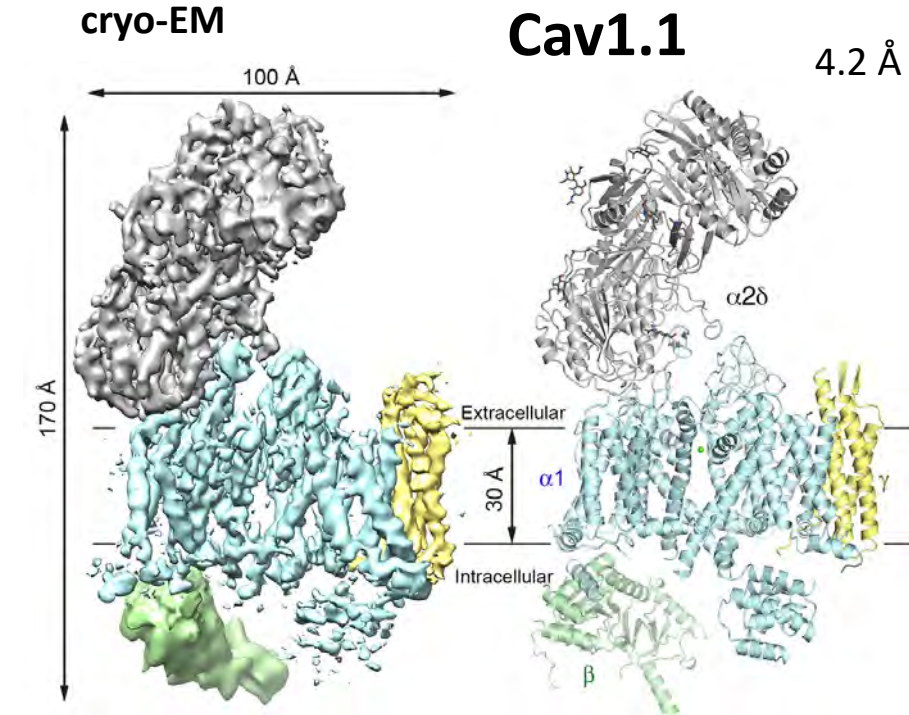


Hodgkin & Huxley (1952) J Physiol 117:500  
Priebe & Beuckelmann (1998) Circ Res 82:1206  
Bellocq *et al.* (2004) Mol Pharmacol. 66:1093

## Canaux $\text{Ca}^{2+}$ : 4 domaines homologues

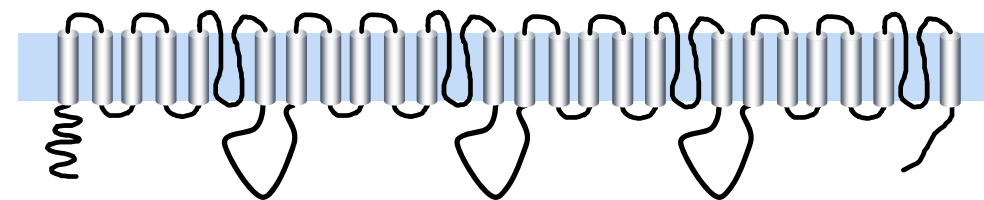
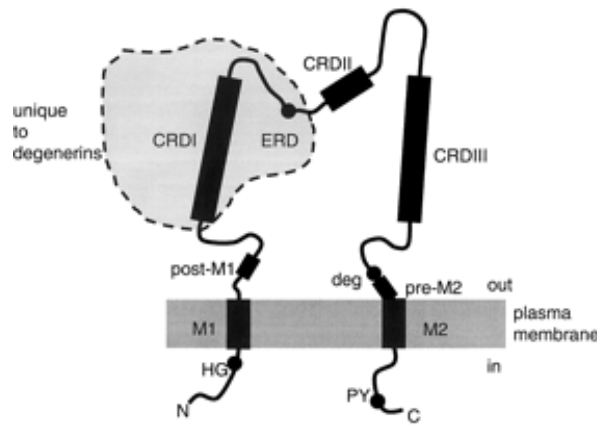


cryo-EM



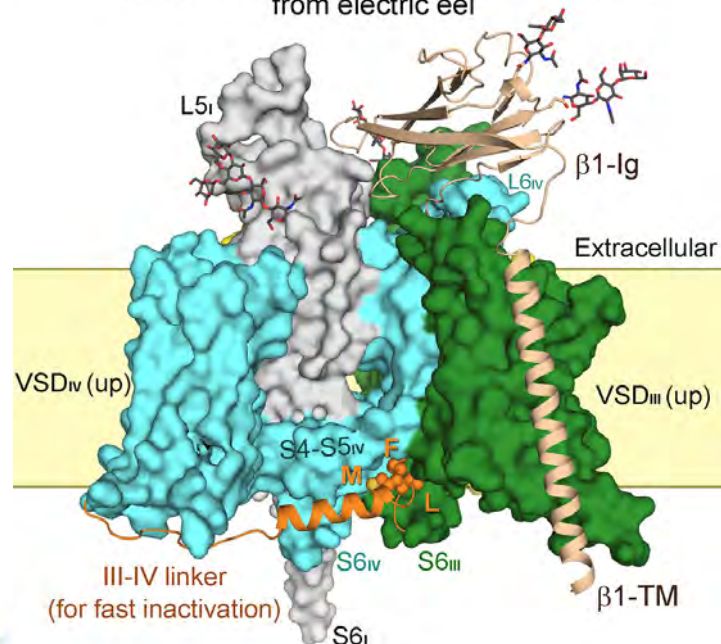
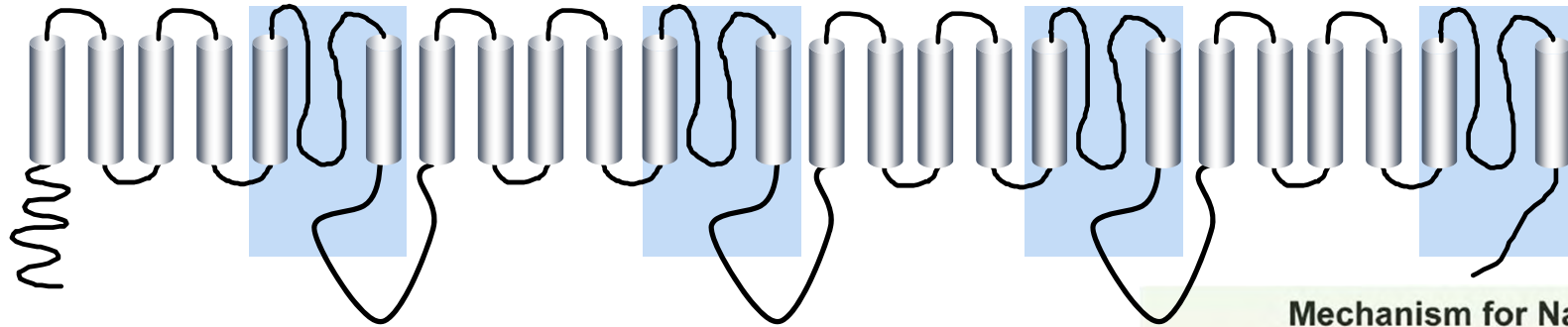
Wu et al. (2015) Science 350:aad2395

## Canaux $\text{Na}^+$ : 2 classes

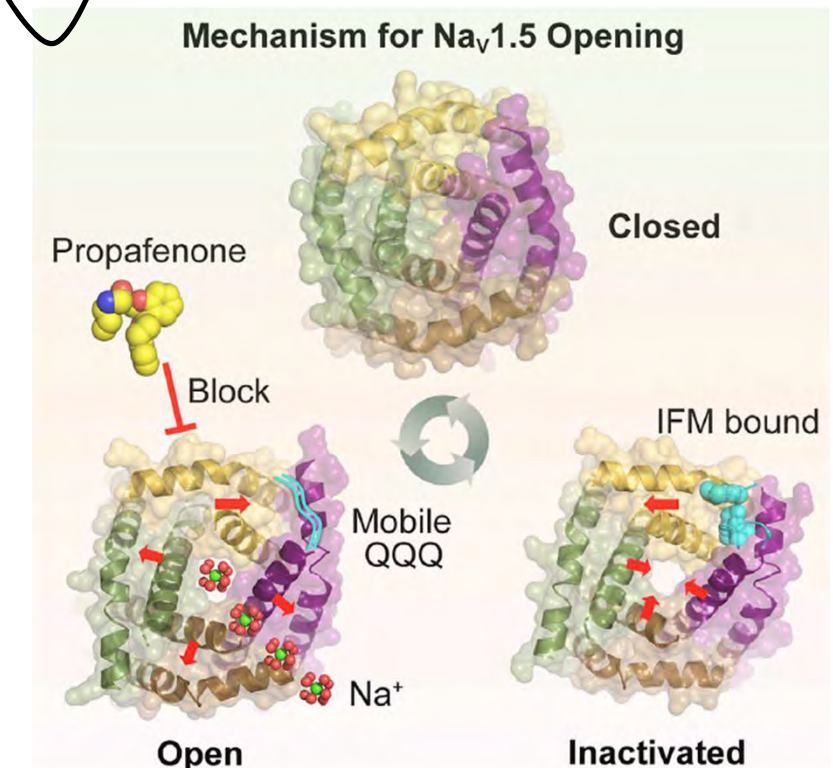


- **ENaC (epith.  $\text{Na}^+$  channel)**
- **Nav: voltage-gated**
- **canal  $\text{Na}^+$  cardiaque : Nav1.5 + Navβ1 (*SCN5A* et *SCN1B*)**

# Canaux $\text{Na}^+$ voltage-gated : structure

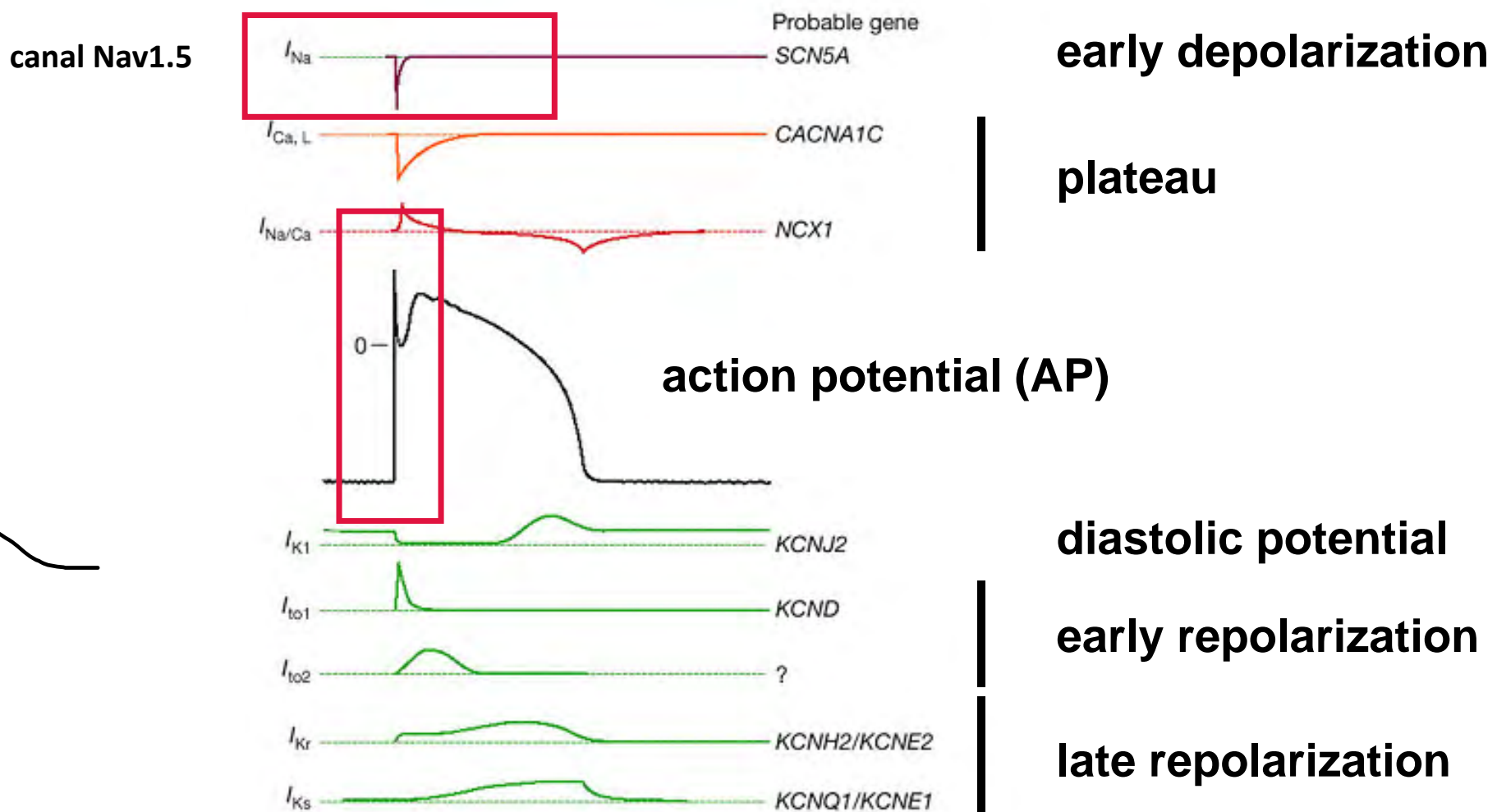
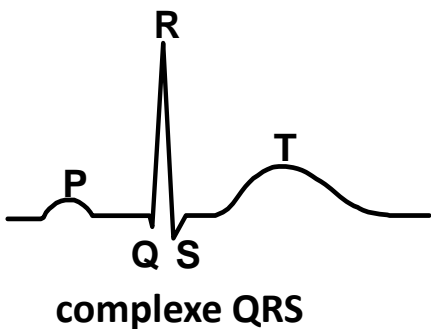


Yan et al. (2017) Cell 170:470



Jiang et al. (2021) Cell 184:1

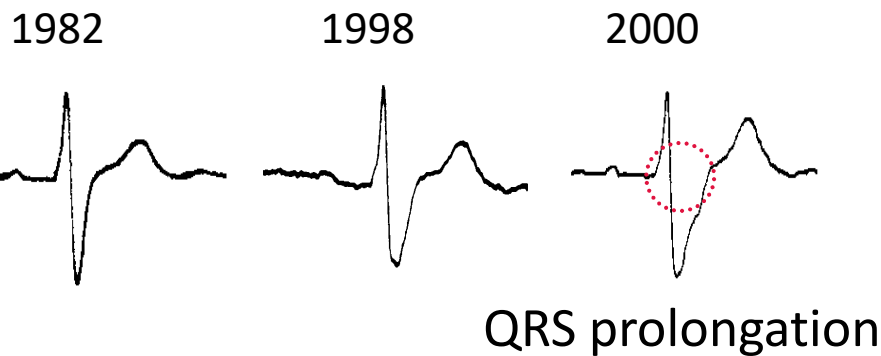
# Activité électrique du cardiomyocyte ventriculaire : le potentiel d'action



## Du modèle cellulaire au modèle murin du syndrome de Lenègre

- Syndrome de Lenègre : ralentissement de la conduction cardiaque héréditaire

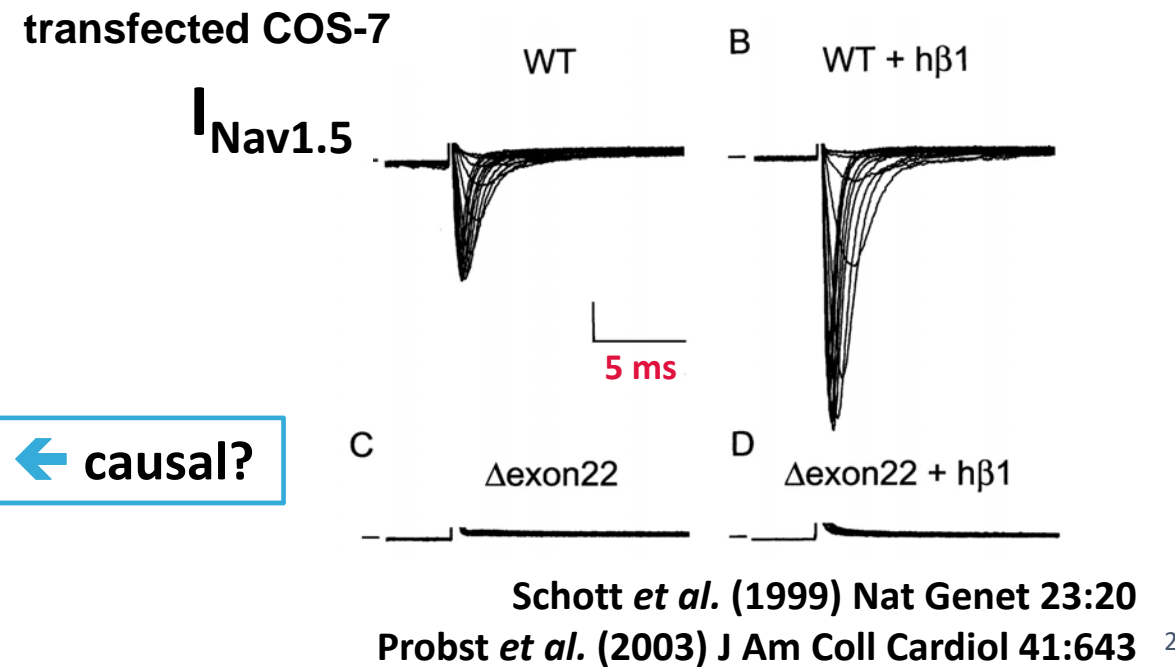
→ bloc de conduction



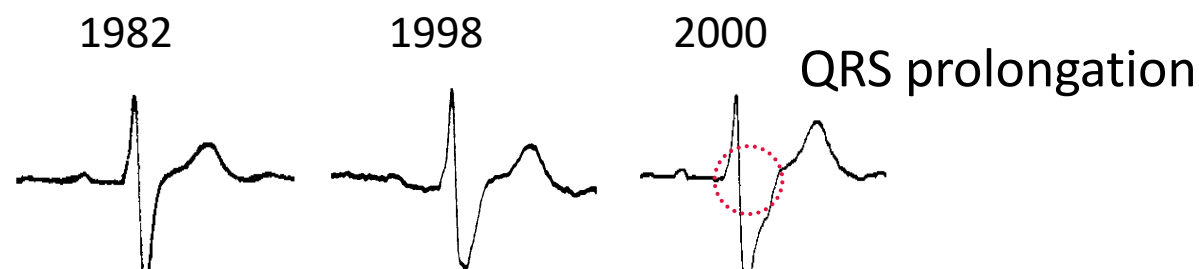
Mutation *SCN5A* : canal Nav1.5  $\Delta$ exon22 ← causal?

- Modèles cellulaires: lignées cellulaires modifiées - canalopathies monogéniques

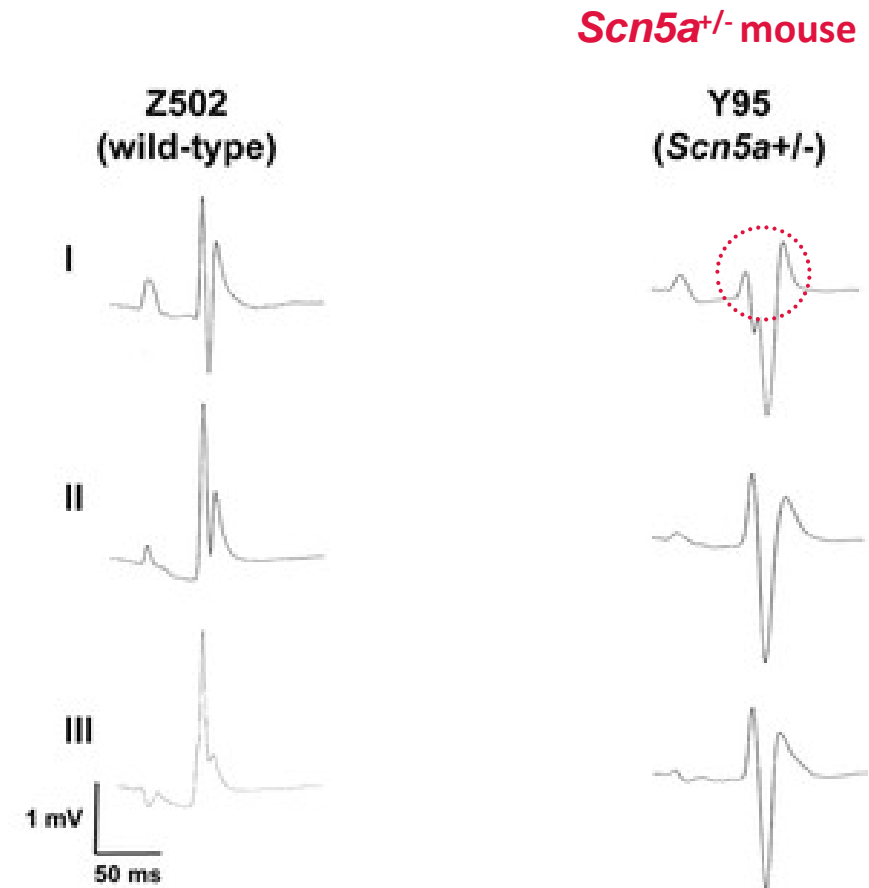
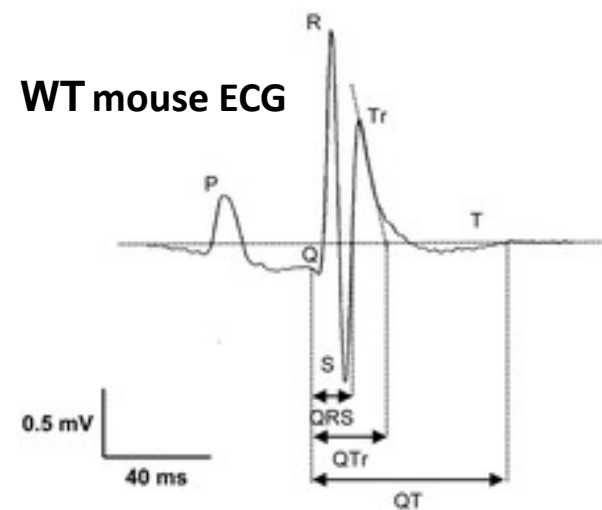
Expression hétérologue de protéines Nav1.5 WT et mutées



# Du modèle cellulaire au modèle murin du syndrome de Lenègre



SCN5A mut : exon 22 absent



Haplo-insuffisance de *SCN5A* → causal

Schott *et al.* (1999) Nat Genet 23:20  
Probst *et al.* (2003) J Am Coll Cardiol 41:643  
Royer *et al.* (2005) Circ 111:1738

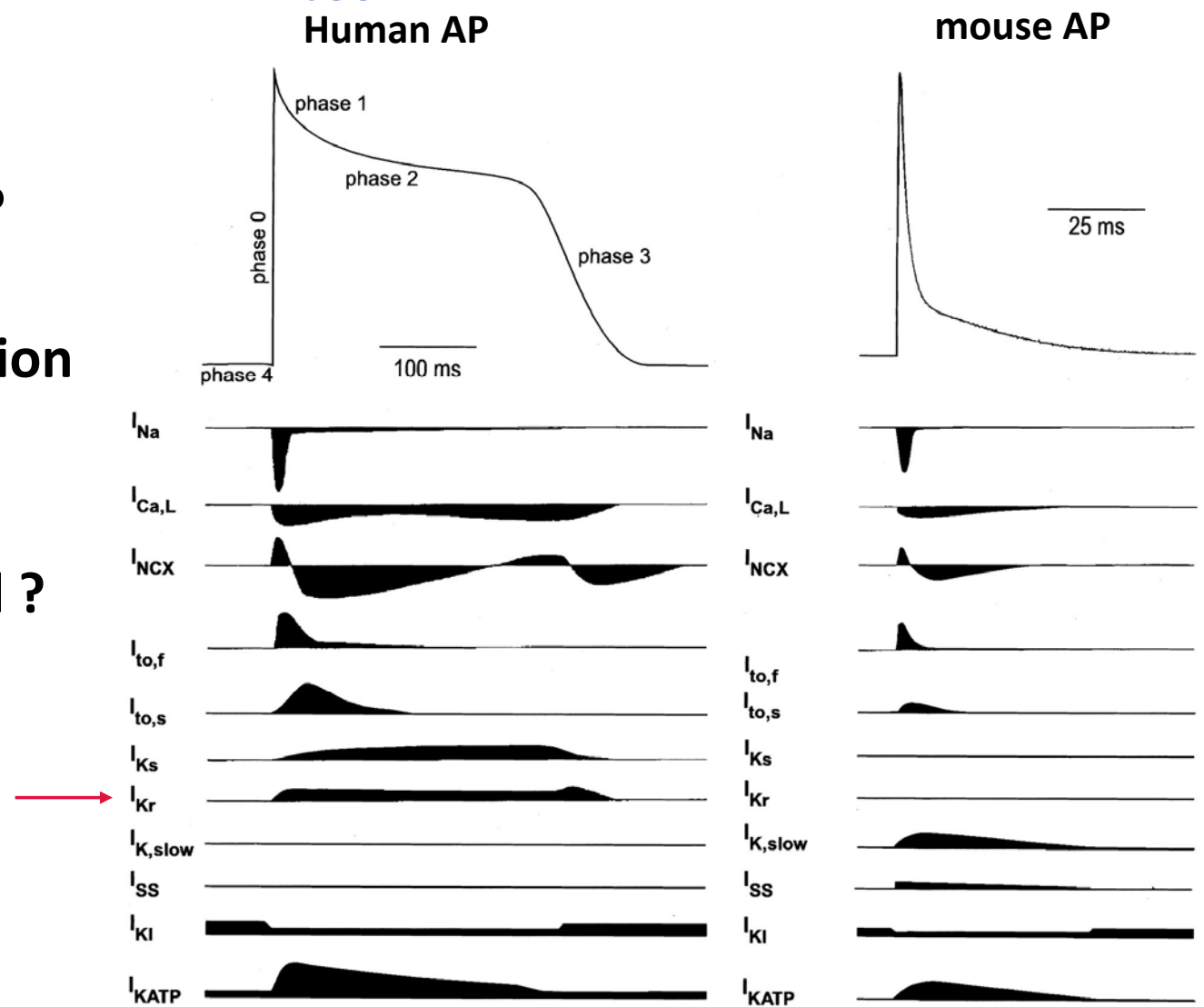
## Limites

### Modèles unicellulaires

- lignées cellulaires : environnement protéique ? (complexe canalaire)
- modèles animaux : expression espèce-spécifique ?

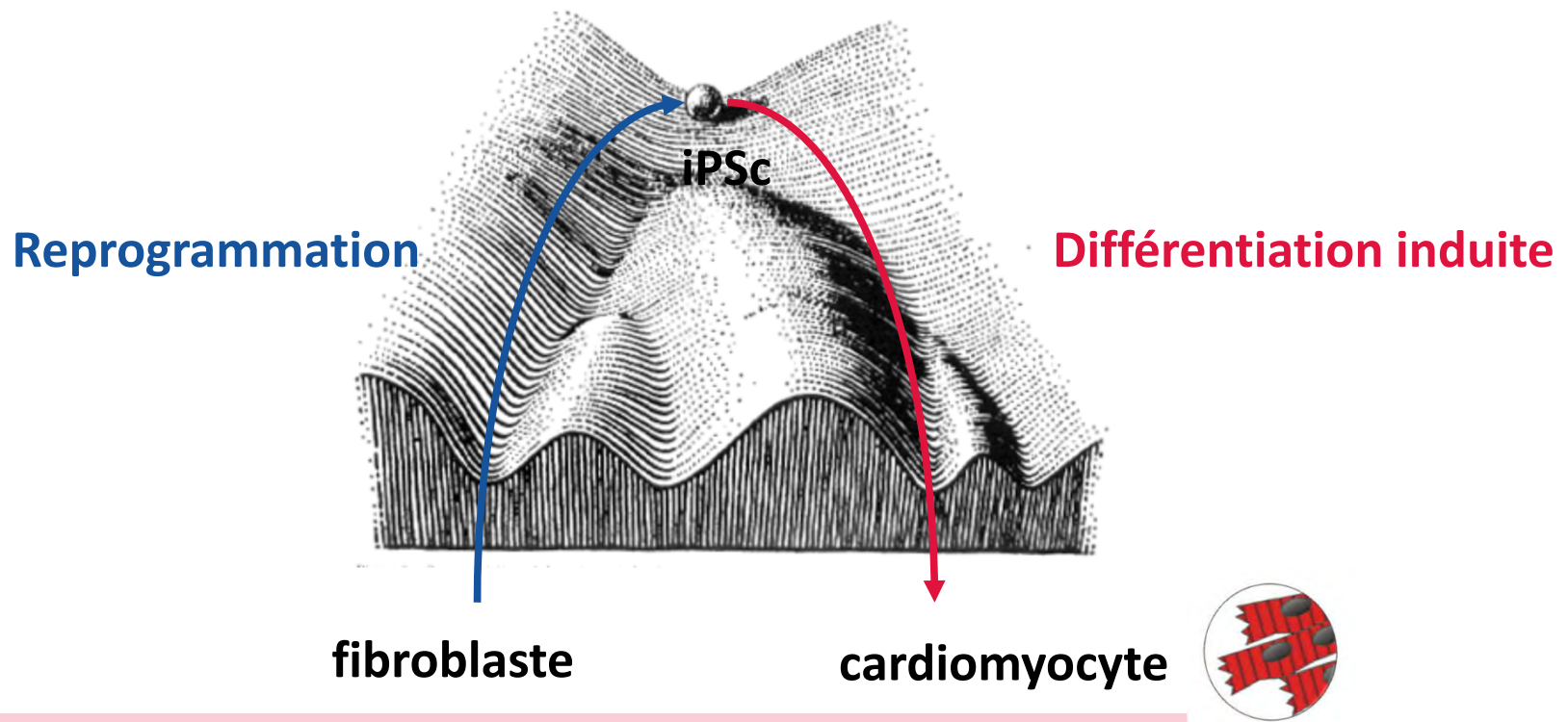
### Modèles informatiques

- environnement fonctionnel ?



Nerbonne et al. (2001) Circ Res 89:944

# Cardiomyocytes issus de cellules souches pluripotentes induites humaines (hiPS-CM)



**Yamanaka S, Gurdon J: Prix Nobel de médecine 2012**

"...for the discovery that mature cells can be reprogrammed to become pluripotent."

# Cardiomyocytes issus de cellules souches pluripotentes induites (iPS-CM)

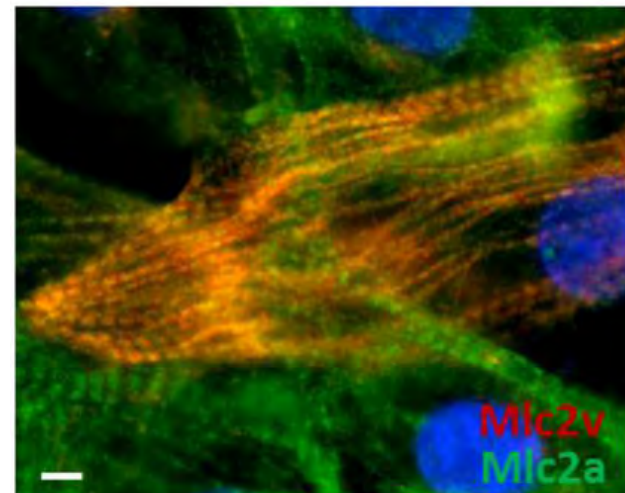
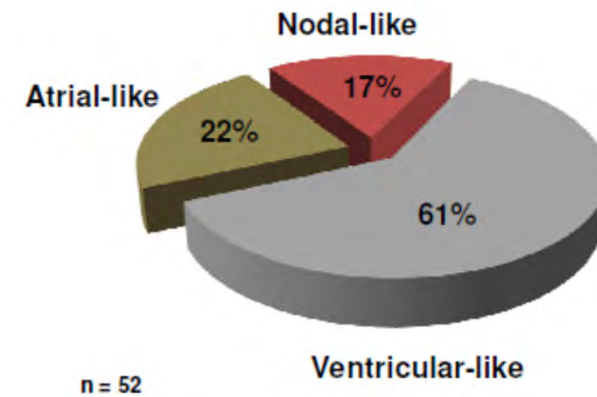
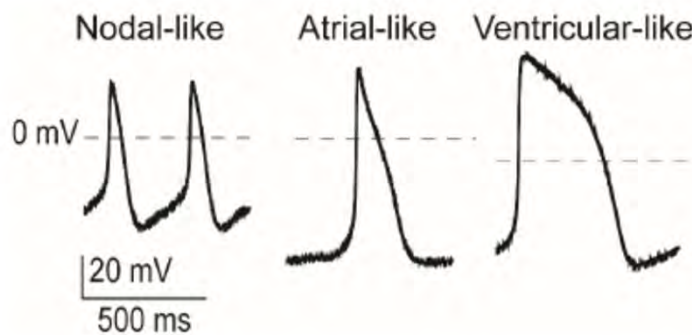
## Cellules d'origine :

- peau, sang, urine
- porte le patrimoine génétique du patient (mutations, variants...)

## Cardiomyocytes issus d'iPSCs

- générées au laboratoire dans des conditions acceptables (éthique, temps et budget)
- environnement génétique humain

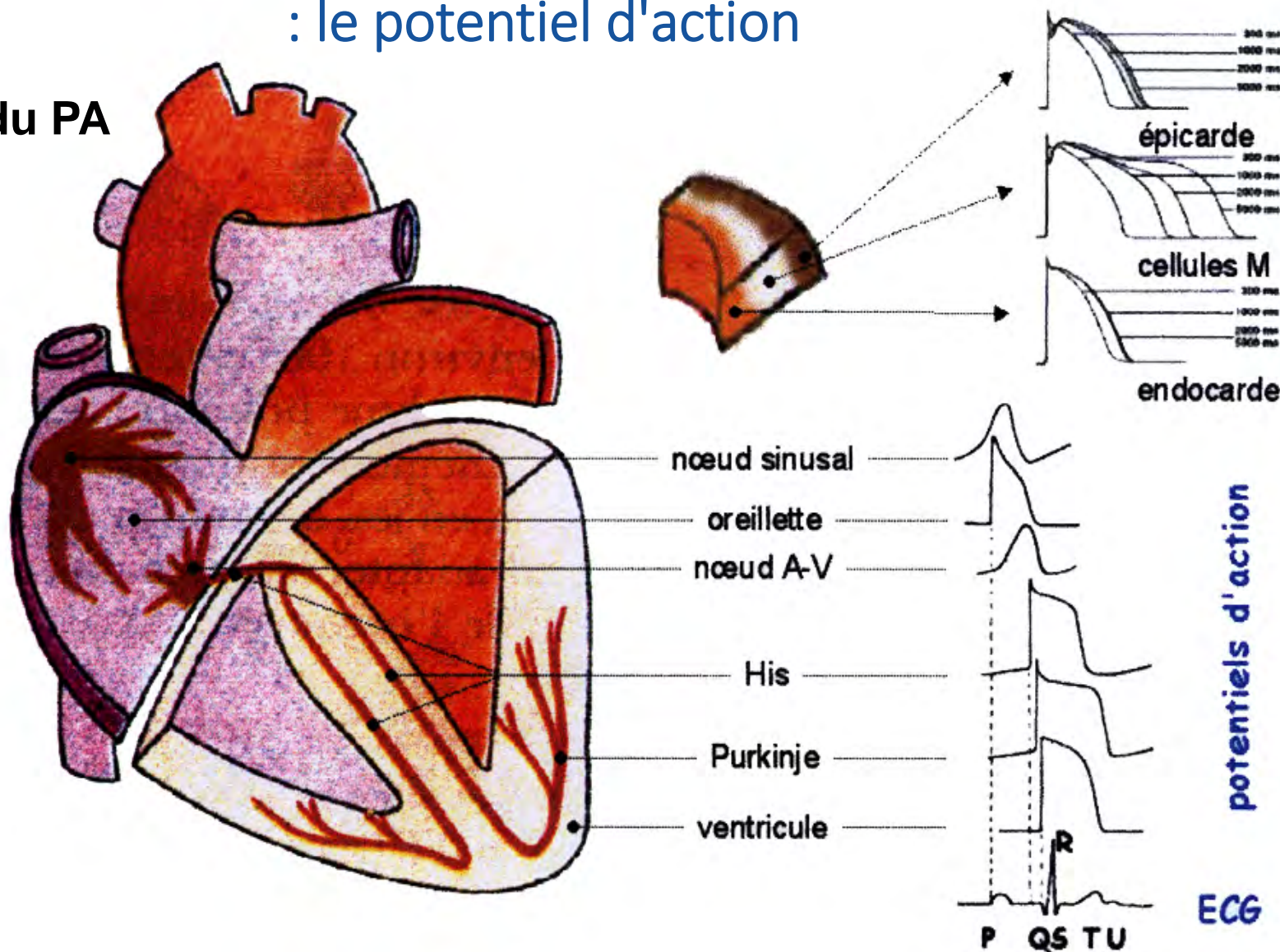
# hiPS-cardiomyocytes



Hétérogénéité phénotypique

# Activité électrique du cardiomycyte : le potentiel d'action

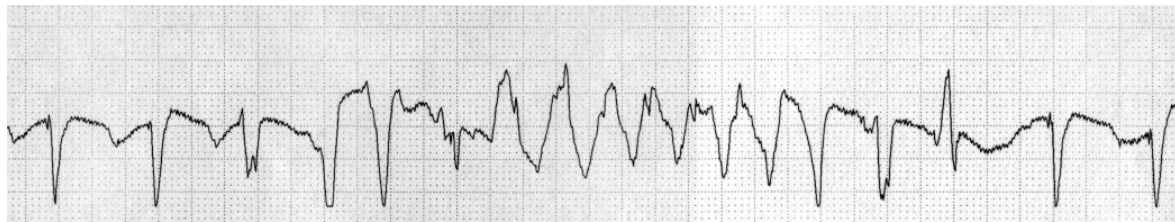
hétérogénéité du PA



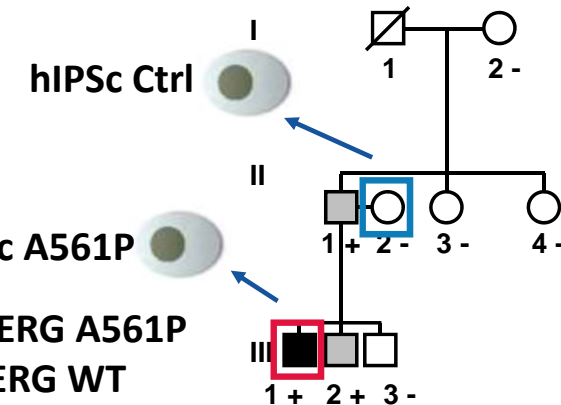
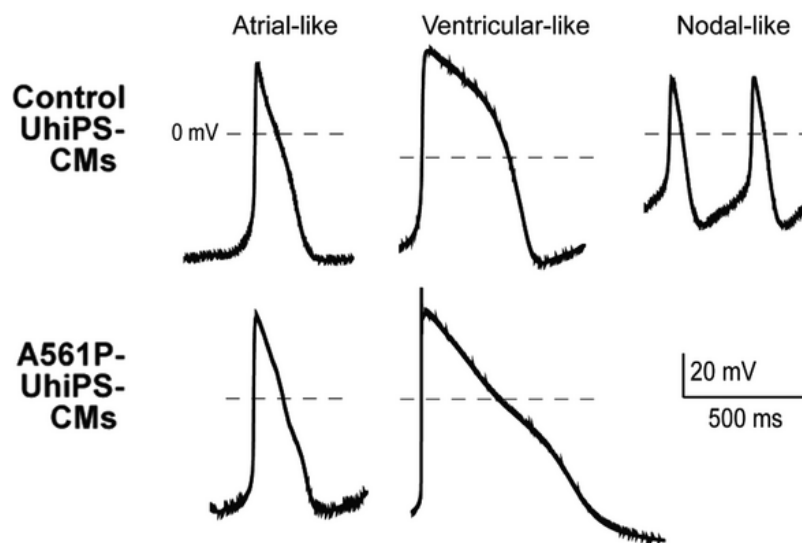
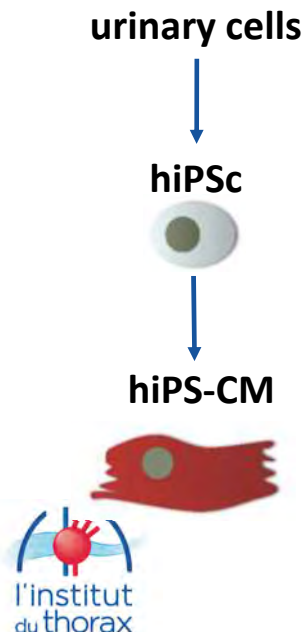
# modélisation du syndrome du QT long: A561P HERG

→ hERG A561P modifie-t-il le potentiel d'action des cardiomyocytes du malade ?

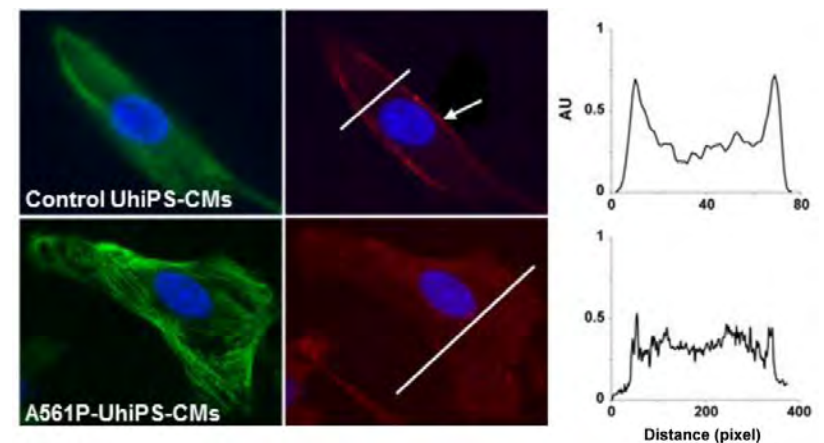
▼ Feb-05-99 – clobutinol



- re-programmation



- immuno-cytofluorimétrie

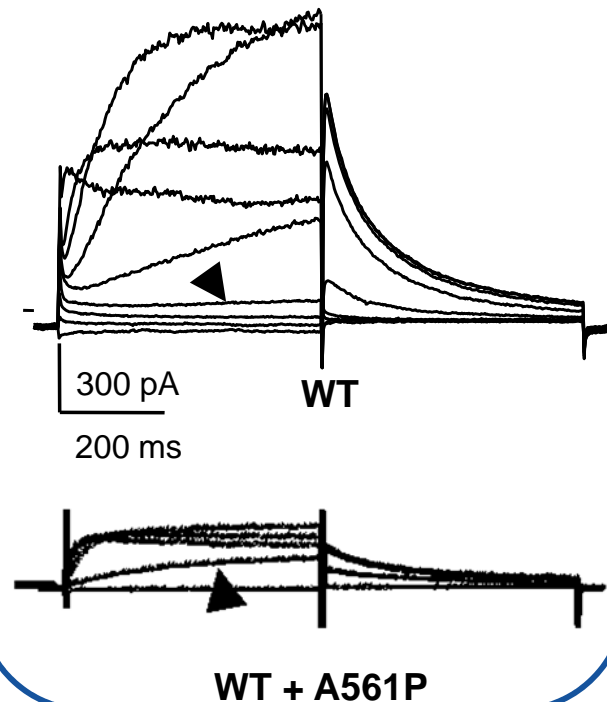


Jouni et al. (2015) JAHA 4:e002159

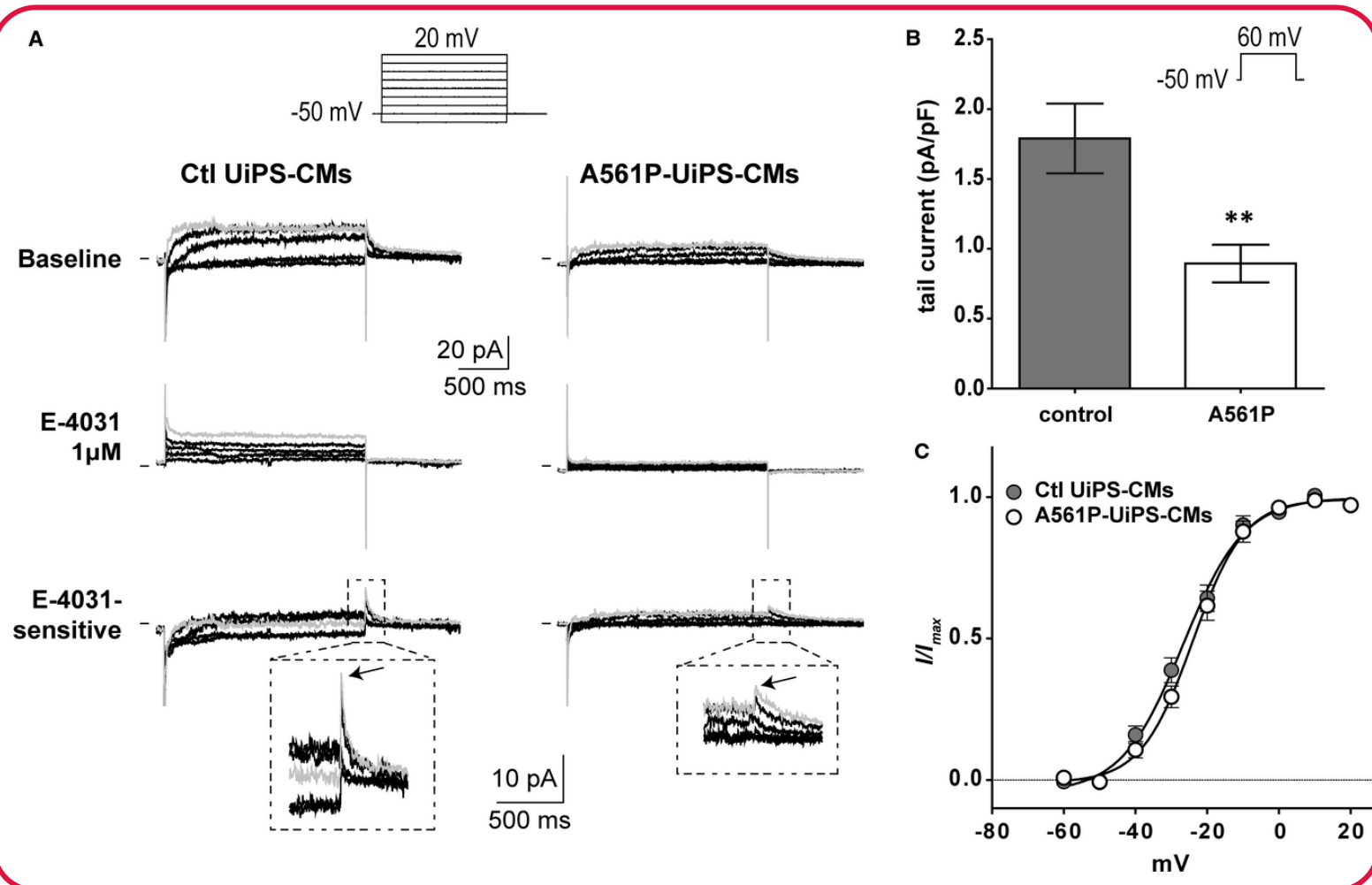
# Transfected cells vs hiPS-cardiomyocytes

- voltage-clamp

## transfected COS-7 cells



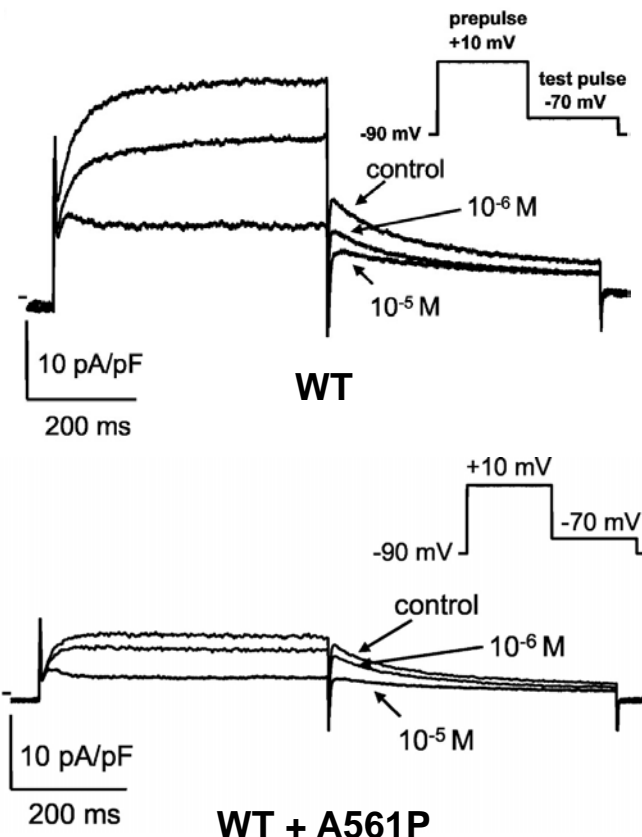
Bellocq *et al.* 2004. Mol Pharmacol. 66:1093



Jouni *et al.* (2015) JAHA 4:e002159

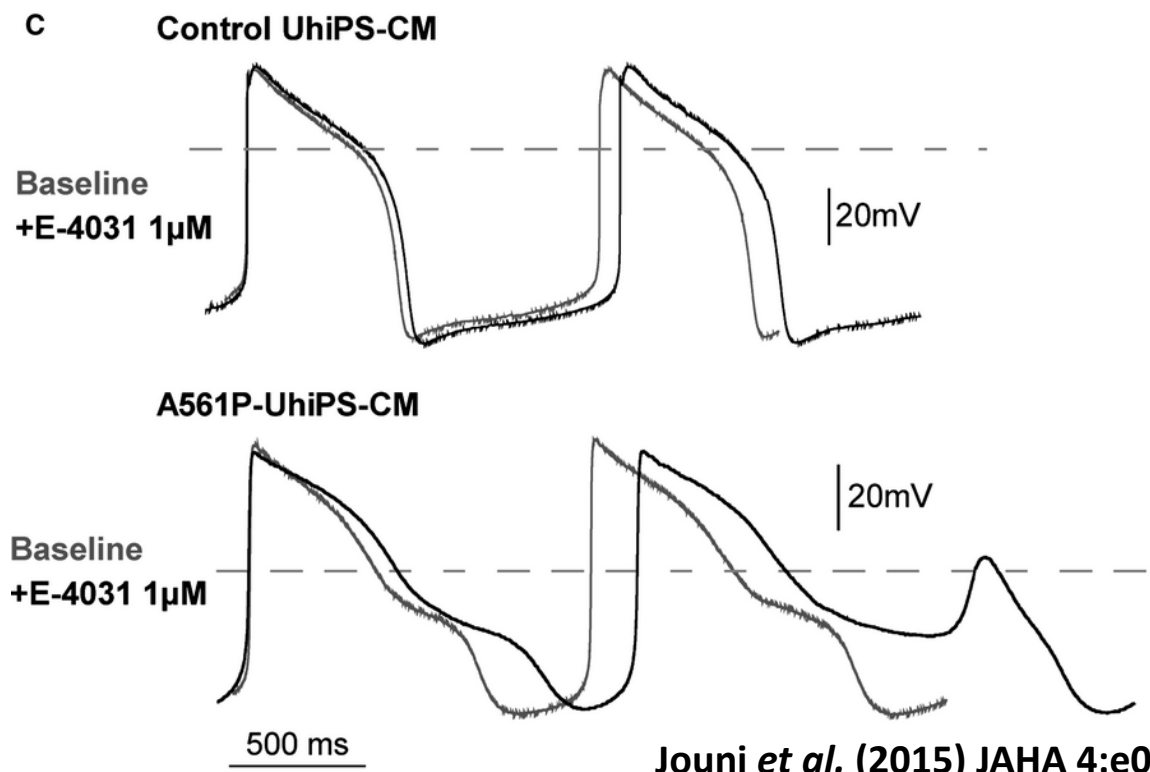
# Transfected cells vs hiPS-cardiomyocytes

+ clobutinol ( $I_{Kr}$  inhib.)



Bellocq *et al.* 2004. Mol Pharmacol. 66:1093

+ E4031 ( $I_{Kr}$  inhib.)



- ✓ Défaut de transport
- ✓ Réduction d' $I_{Kr}$

- Prolongation durée du PA
- Evénements arythmiques

Perte de fonction et allongement confirmés → causal

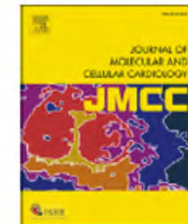
## Analyse d'article



Contents lists available at ScienceDirect

Journal of Molecular and Cellular Cardiology

journal homepage: [www.elsevier.com/locate/yjmcc](http://www.elsevier.com/locate/yjmcc)



Original Article

## HIV-Tat induces a decrease in $I_{Kr}$ and $I_{Ks}$ via reduction in phosphatidylinositol-(4,5)-bisphosphate availability



Zeineb Es-Salah-Lamoureaux <sup>a,1</sup>, Mariam Jouni <sup>a,1</sup>, Olfat A. Malak <sup>a</sup>, Nadjet Belbachir <sup>a</sup>, Zeina Reda Al Sayed <sup>a</sup>, Marine Gandon-Renard <sup>a</sup>, Guillaume Lamirault <sup>b</sup>, Chantal Gauthier <sup>a</sup>, Isabelle Baró <sup>a</sup>, Flavien Charpentier <sup>b</sup>, Kazem Zibara <sup>c</sup>, Patricia Lemarchand <sup>b</sup>, Bruno Beaumelle <sup>d</sup>, Nathalie Gaborit <sup>a,\*</sup>, Gildas Loussouarn <sup>a,1</sup>

<sup>a</sup> *l'institut du thorax, Inserm, CNRS, Université de Nantes, Nantes, France*

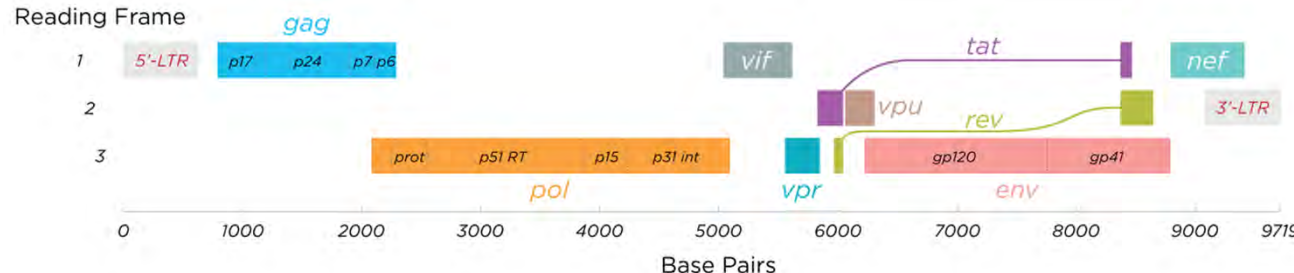
<sup>b</sup> *l'institut du thorax, Inserm, CNRS, Université de Nantes, CHU Nantes, Nantes, France*

<sup>c</sup> *ER045, PRASE, Laboratory of stem cells, Lebanese university, Beirut, Lebanon*

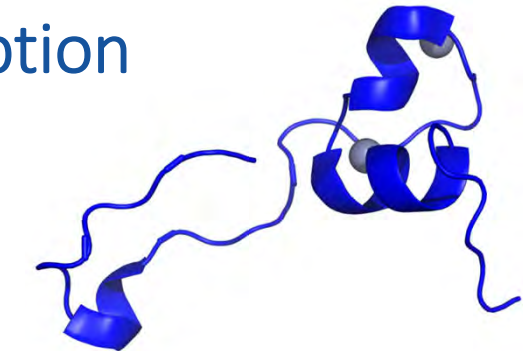
<sup>d</sup> *Centre d'études d'agents Pathogènes et Biotechnologies pour la Santé, CNRS, Université de Montpellier, Montpellier, France*

- **Les patients HIV+ présentent un intervalle QT allongé et un risque de mort subite élevé par rapport à la population générale. Origine ?**
- **Des études précédentes suggèrent un effet direct du virus (plus que les anti-viraux)**

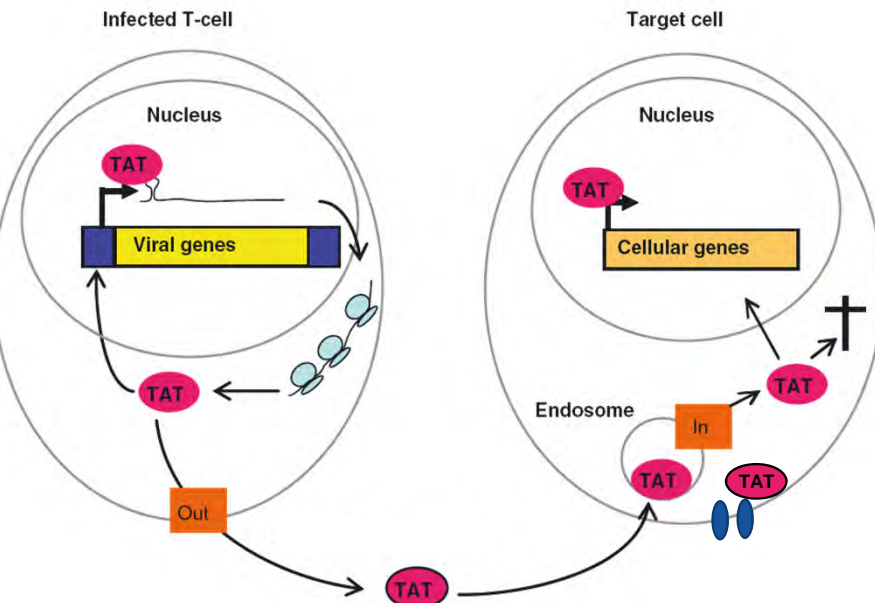
# Tat = Trans-Activator of Transcription



<https://commons.wikimedia.org/w/index.php?curid=33943759>



<https://commons.wikimedia.org/w/index.php?curid=79119847>



d'après Debaisieux et al., (2012) *Traffic* 13:355

- **Protéine Tat du HIV-1 : présente dans le sérum des patients, peut pénétrer les cellules et interagir avec le PIP<sub>2</sub> (phosphoinositide).**
- **KCNQ1 et hERG, canaux repolarisants, nécessitent du PIP<sub>2</sub> pour être fonctionnels**
- ➔ **Les canaux KCNQ1 ou hERG sont-ils impliqués dans les effets cardiaques de l'infection HIV par l'intermédiaire de Tat?**



cellules  
COS-7

Condition : sur-expression du canal hERG et de la protéine Tat (WT et mutée) après transfection (plasmides)

- Courant  $I_{hERG}$

A COS-7

GFP

WT-Tat

W11Y-Tat: pas d'interaction avec le  $PIP_2$

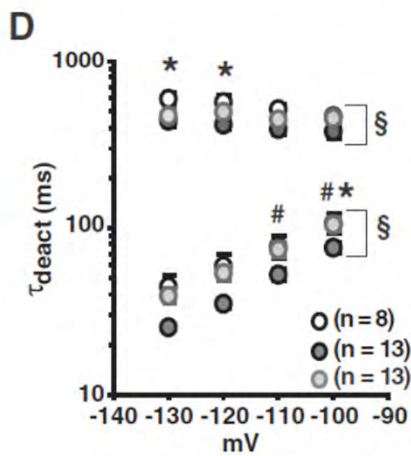
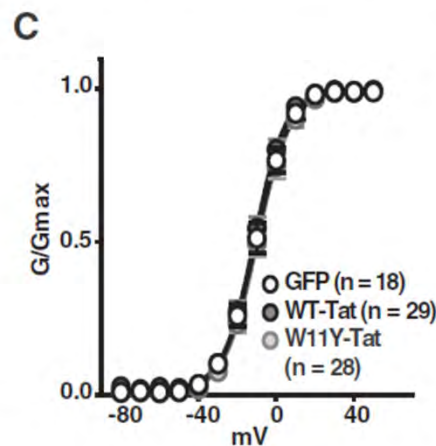
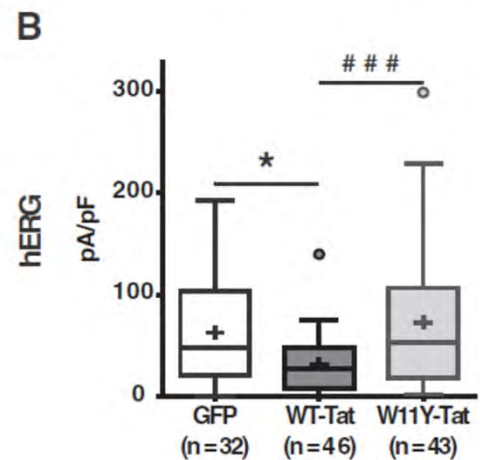
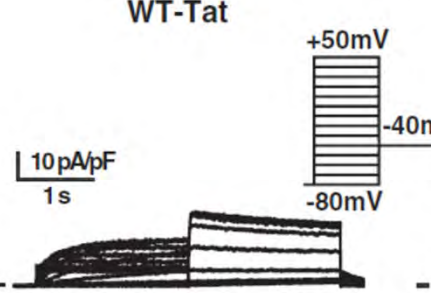


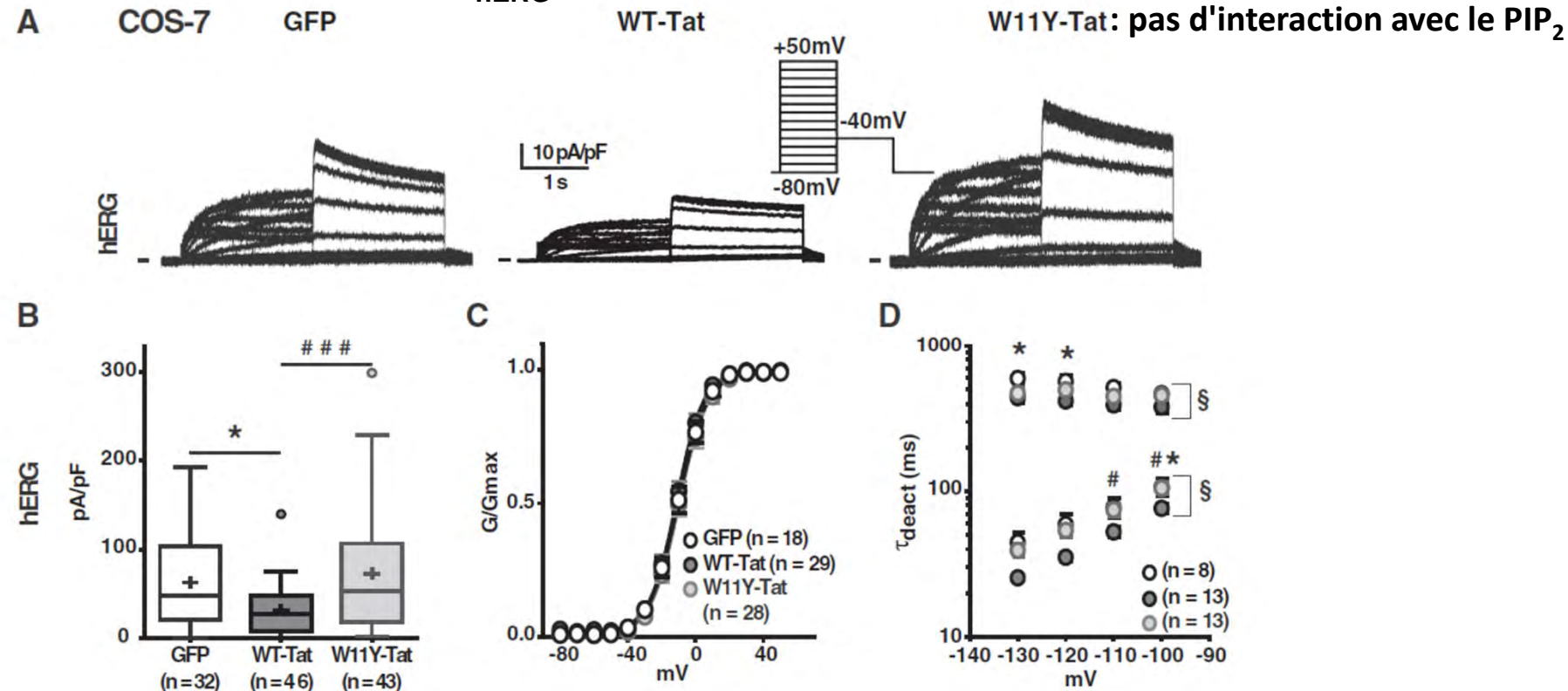
Figure 1



cellules  
COS-7

Condition : sur-expression du canal hERG et de la protéine Tat (WT et mutée) après transfection (plasmides)

- Courant  $I_{hERG}$



- WT-Tat : 1A & B : diminution du courant hERG (et KCNQ1)
- WT-Tat : 1D : accélération de la désactivation du courant hERG (et KCNQ1)
- W11Y-Tat, qui n'interagit pas avec le  $PIP_2$  : pas d'effet

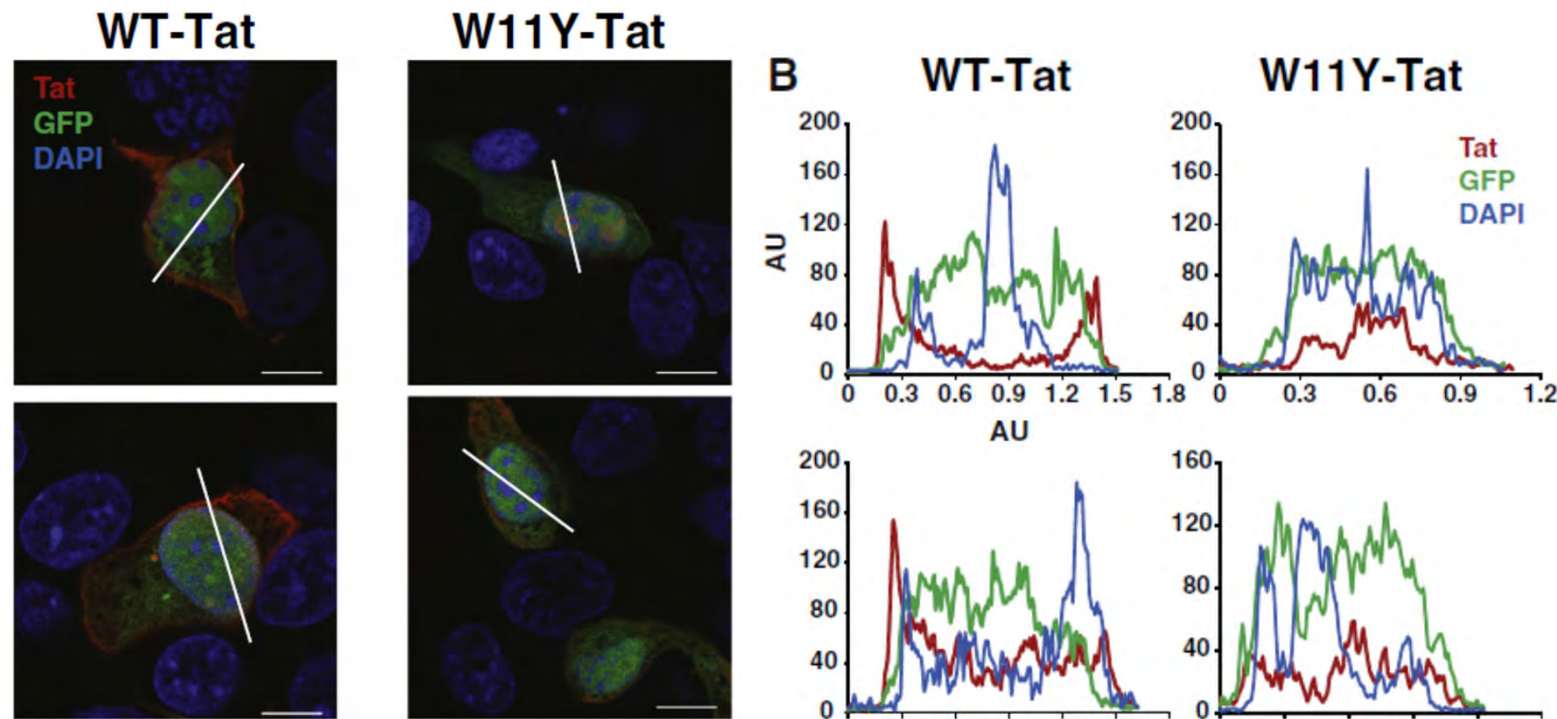


cellules  
COS-7

**Condition : sur-expression du canal hERG et de la protéine Tat (WT et mutée) après transfection (plasmides)**

- Localisation de la protéine Tat (immunomarquage et microscopie confocale)

**Figure 3** A



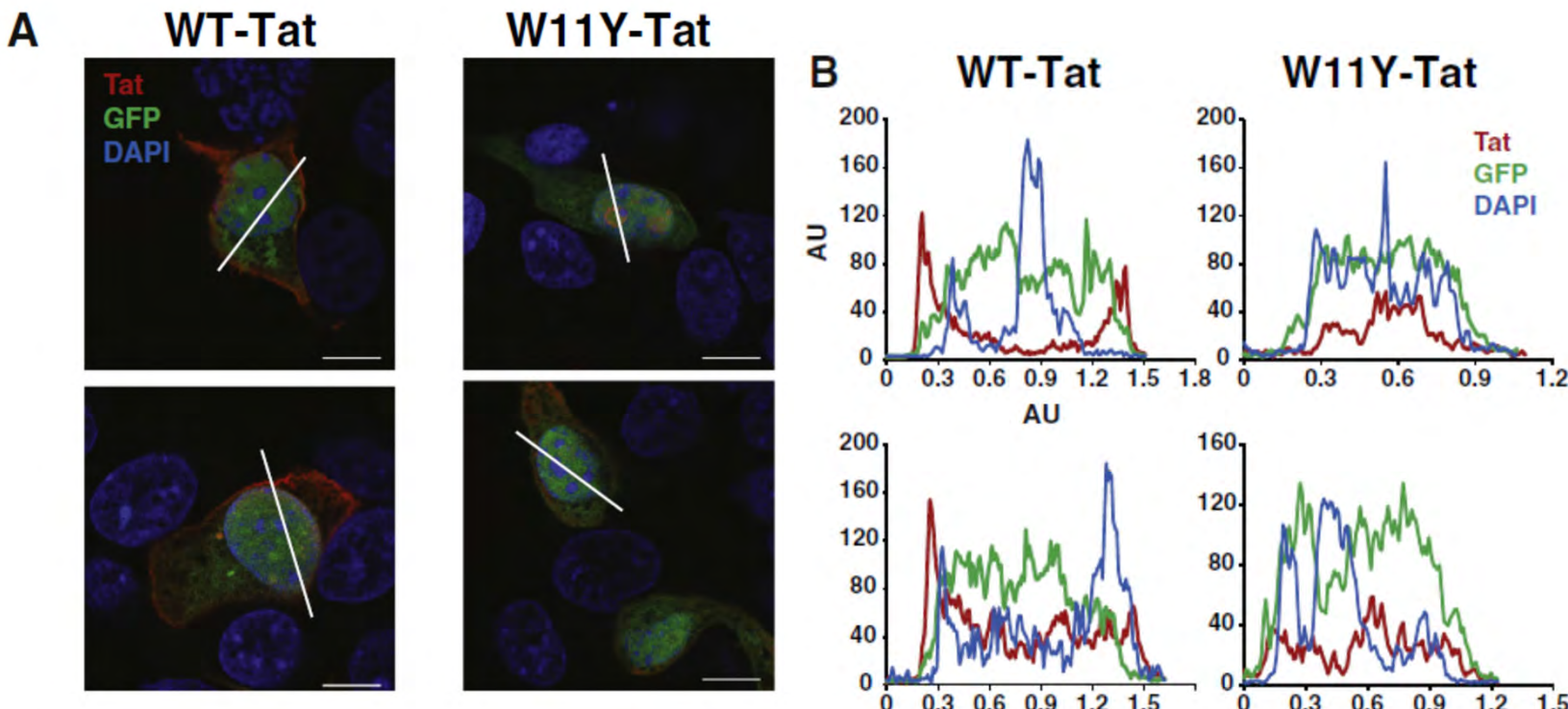


cellules  
COS-7

**Condition : sur-expression du canal hERG et de la protéine Tat (WT et mutée) après transfection (plasmides)**

- Localisation de la protéine Tat (immunomarquage et microscopie confocale)

**Figure 3**



- WT-Tat : membranaire, comme le canal
- W11Y-Tat : non membranaire, car elle n'interagit pas avec le PIP<sub>2</sub>

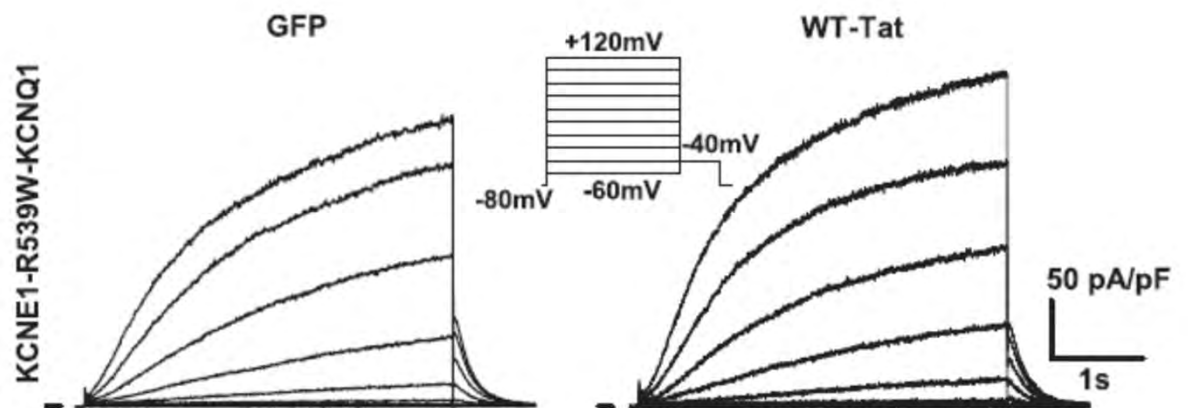


cellules  
COS-7

Condition : sur-expression du canal KCNE1-KCNQ1 (WT et muté) et de la protéine WT-Tat après transfection (plasmides)

- Courant  $I_{KCNE1-KCNQ1}$

A



B

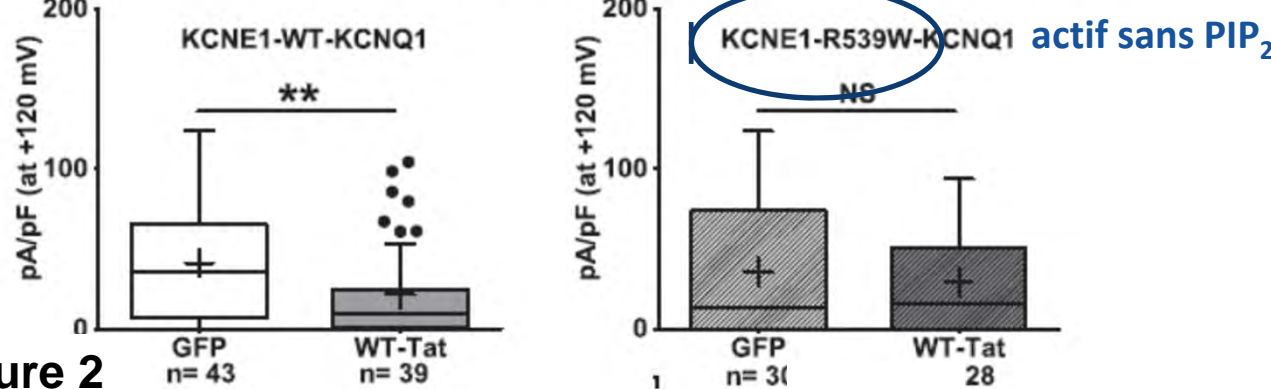


Figure 2

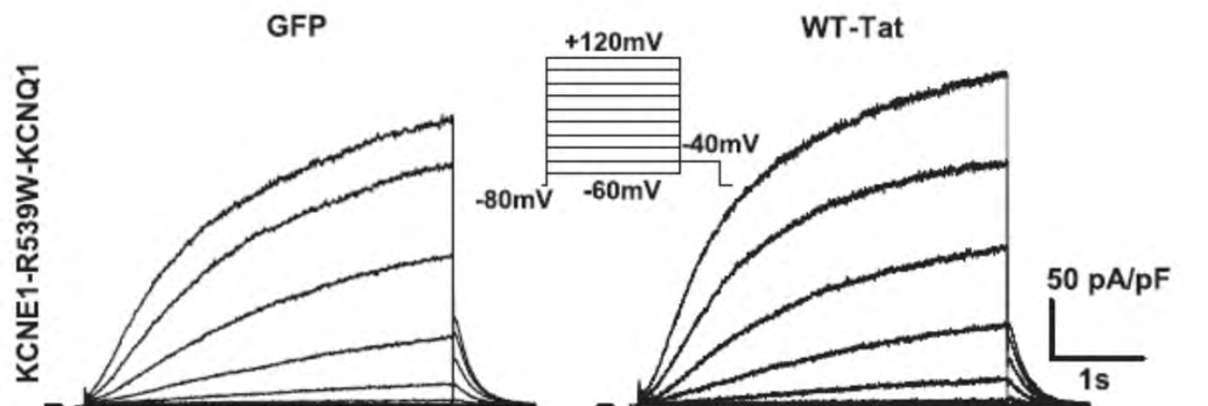


cellules  
COS-7

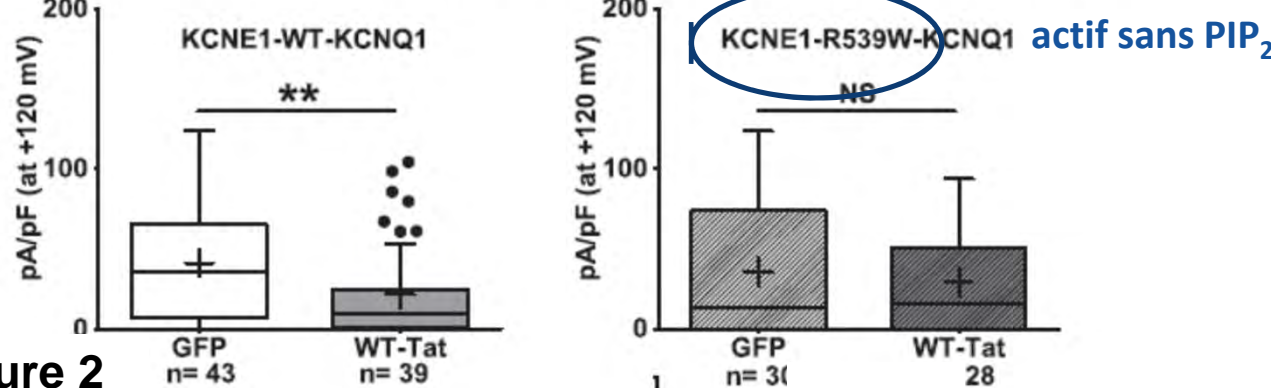
Condition : sur-expression du canal KCNE1-KCNQ1 (WT et muté) et de la protéine WT-Tat après transfection (plasmides)

- Courant  $I_{KCNE1-KCNQ1}$

A



B



- 3B: canal WT sensible au PIP<sub>2</sub> : sensible à la Tat
- 3A & B canal insensible au PIP<sub>2</sub> : insensible à la Tat

Figure 2

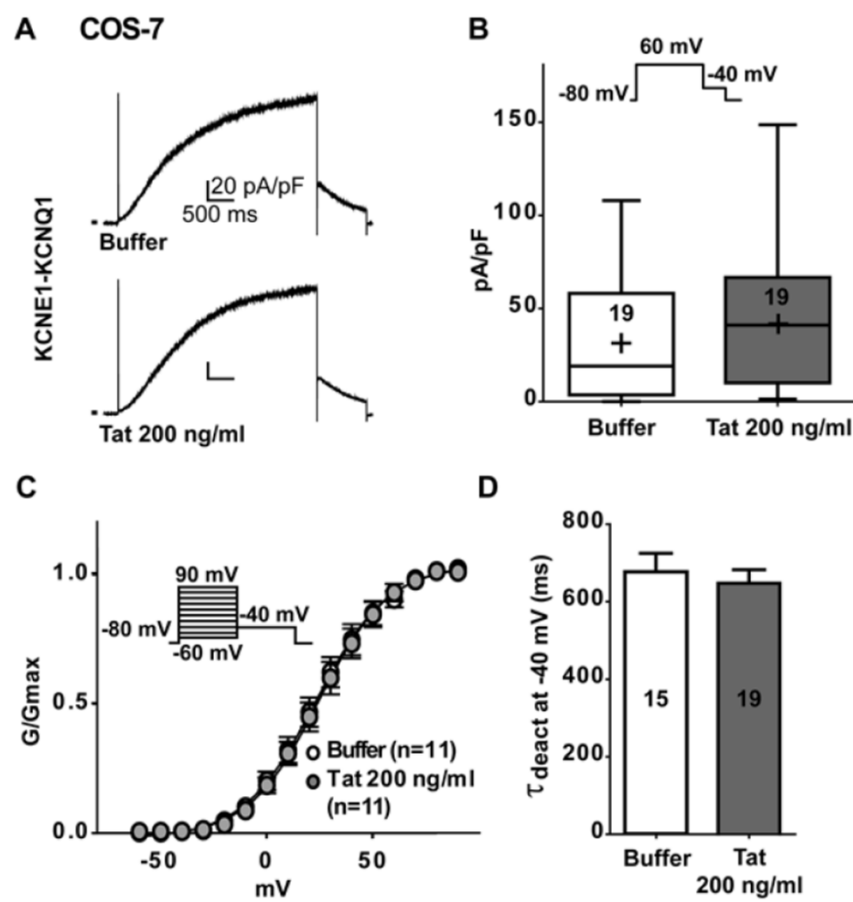


cellules  
COS-7

Condition : sur-expression du canal KCNE1-WT- KCNQ1 après transfection (plasmides), application extracellulaire de la protéine Tat

- Courant  $I_{KCNE1-KCNQ1}$

Suppl.  
Figure 4



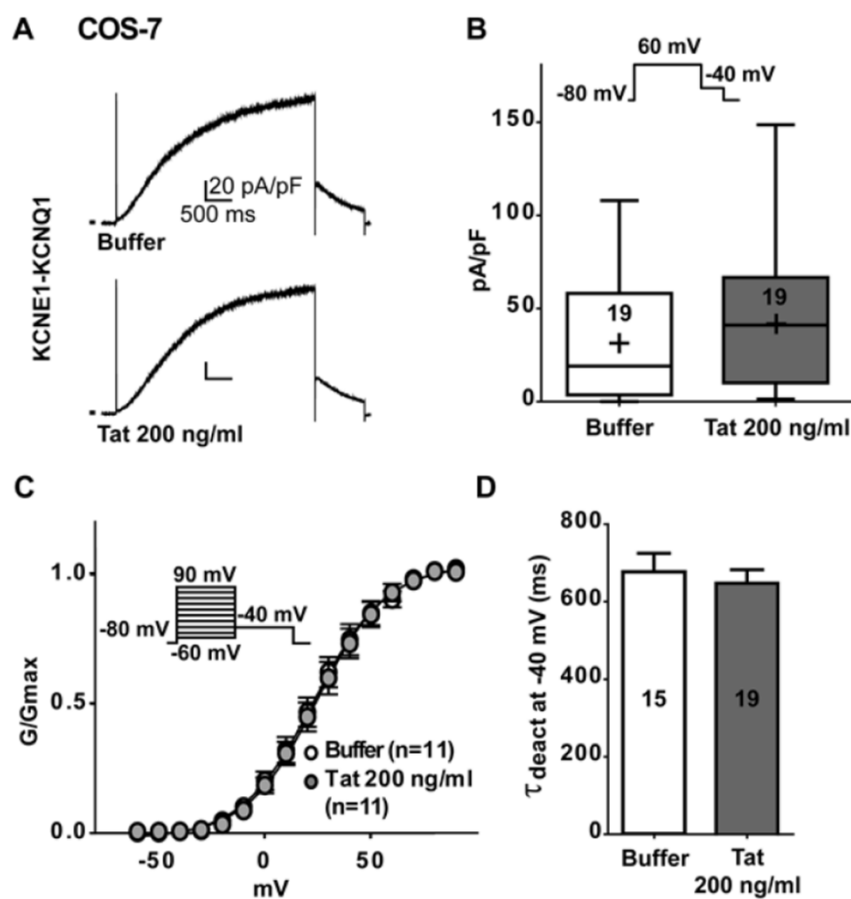


cellules  
COS-7

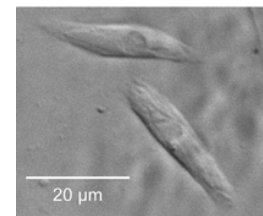
Condition : sur-expression du canal KCNE1-WT- KCNQ1 après transfection (plasmides), application extracellulaire de la protéine Tat

- Courant  $I_{KCNE1-KCNQ1}$

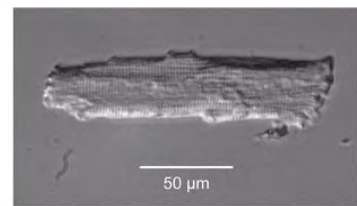
Suppl.  
Figure 4



- application de la protéine Tat : pas d'effet

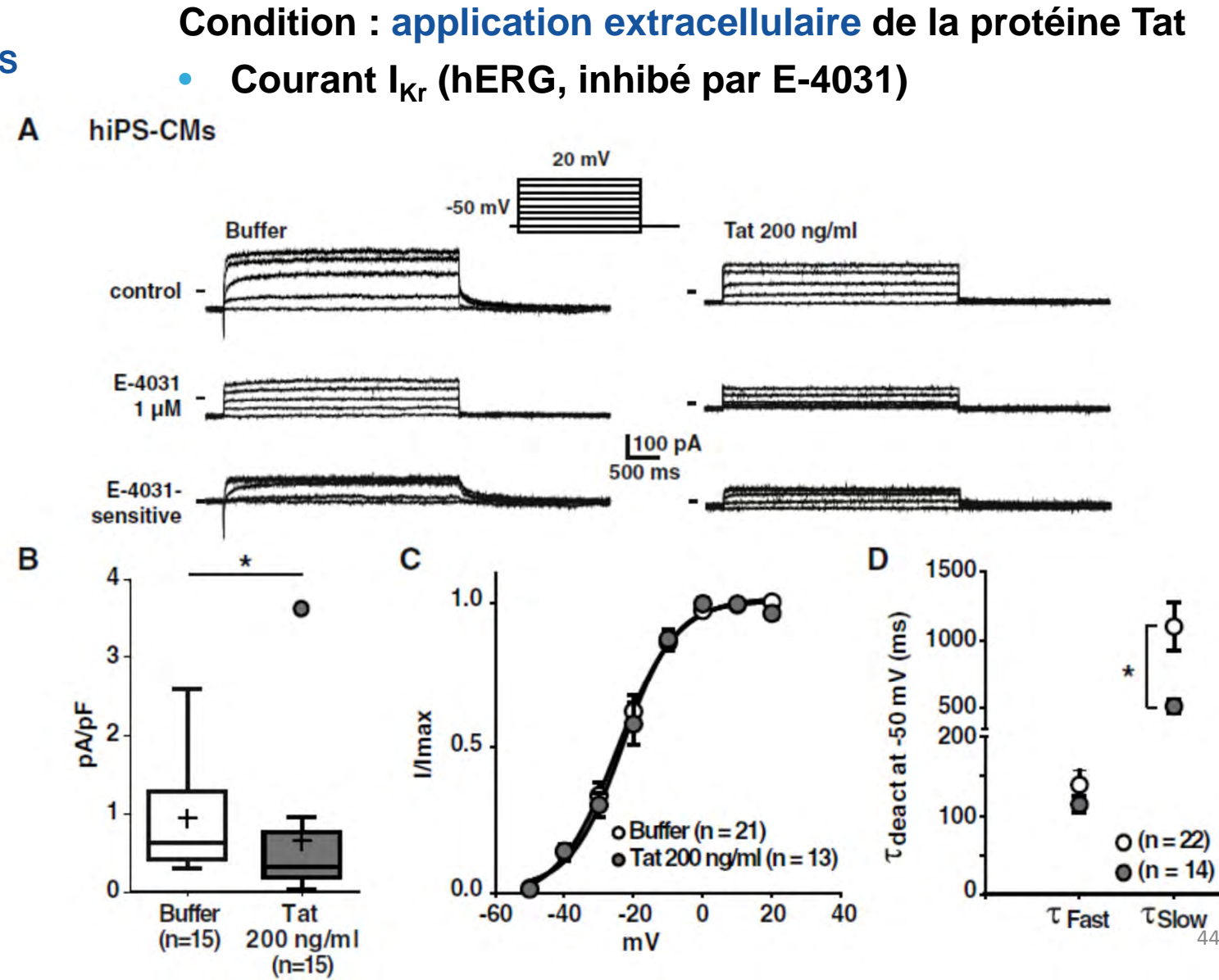


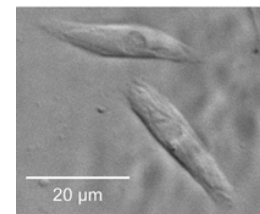
cardiomyocytes issus de cellules hiPS



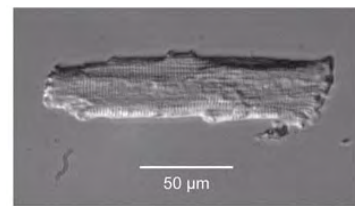
cardiomyocytes humains fraîchement isolés

Figure 4





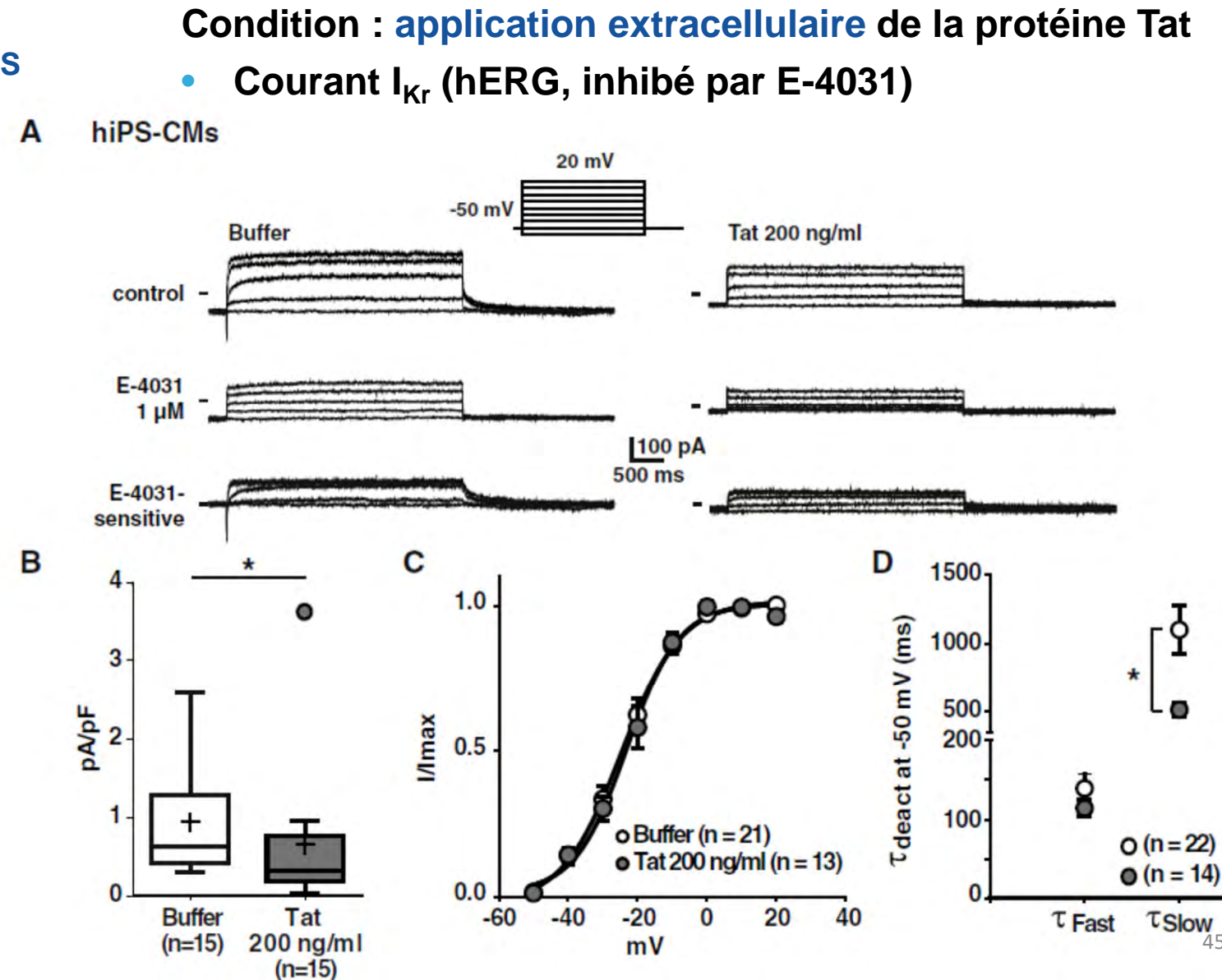
cardiomyocytes issus de cellules hiPS

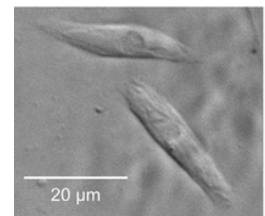


cardiomyocytes humains fraîchement isolés

- application de la protéine Tat : effet sur le courant E-4031-sensible,  $I_{Kr}$

Figure 4





cardiomyocytes  
issus de cellules hiPS

Condition : application extracellulaire de la protéine Tat

- expression de hERG ARNm et protéine

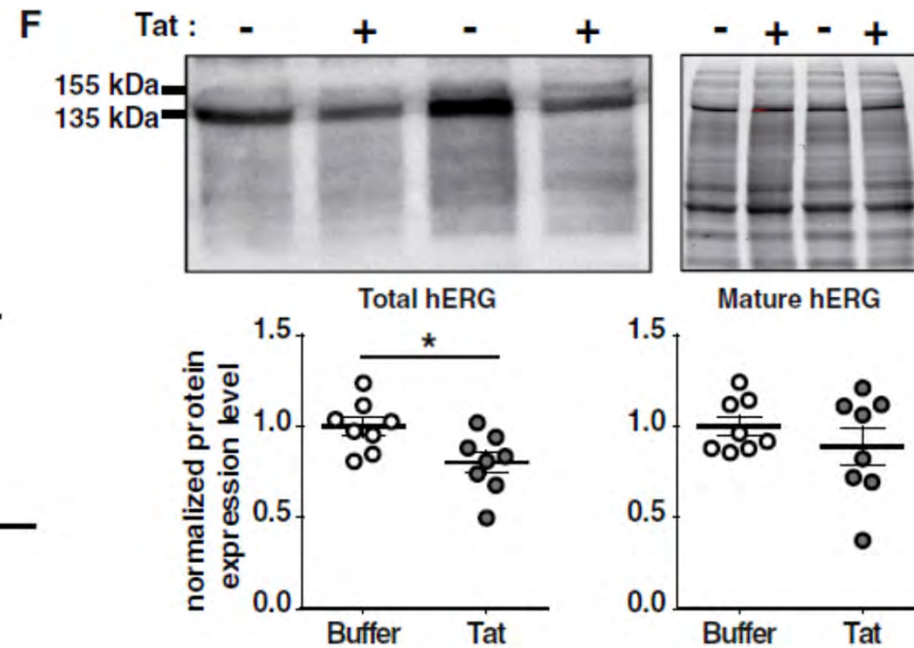
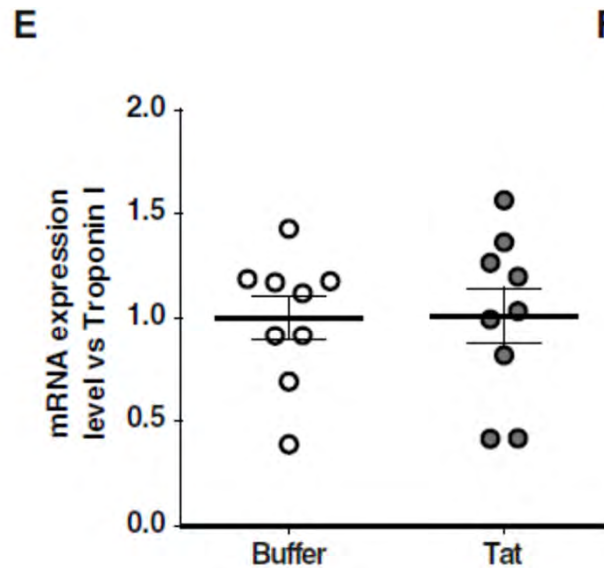
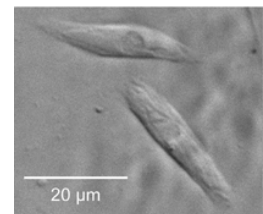


Figure 4



cardiomyocytes  
issus de cellules hiPS

Condition : application extracellulaire de la protéine Tat

- expression de hERG ARNm et protéine

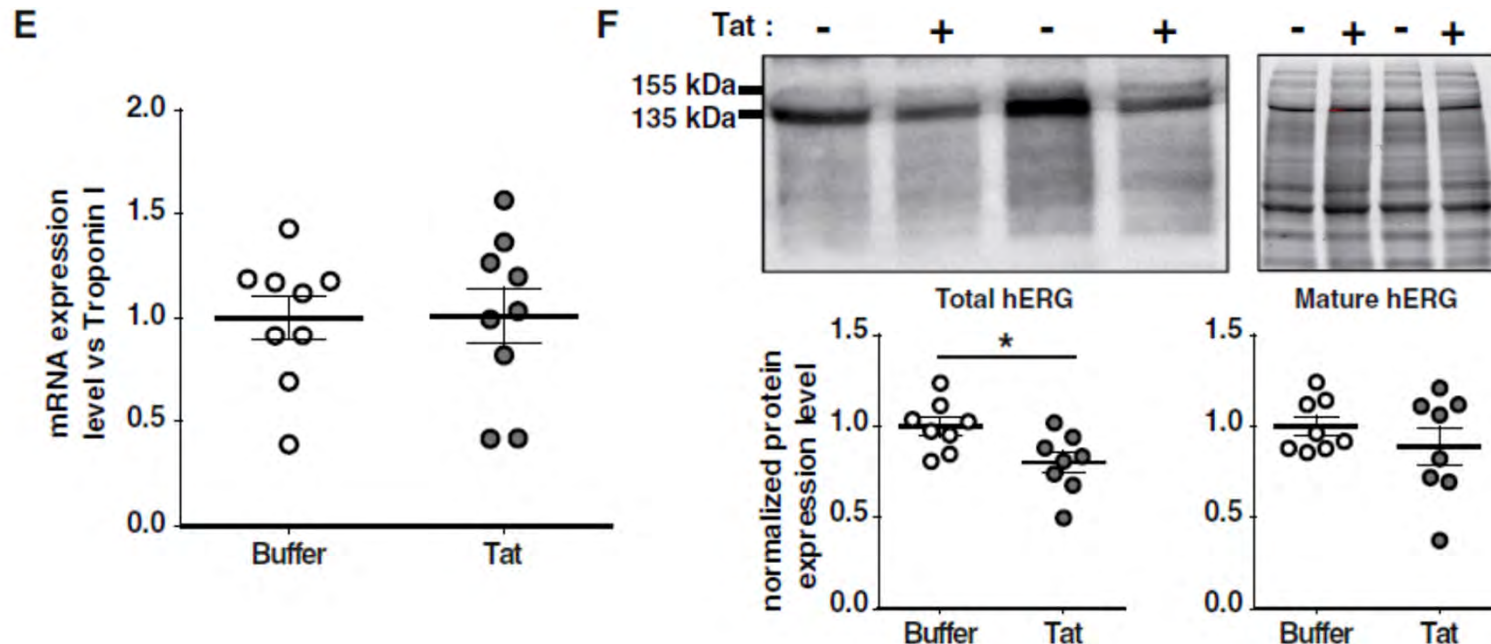


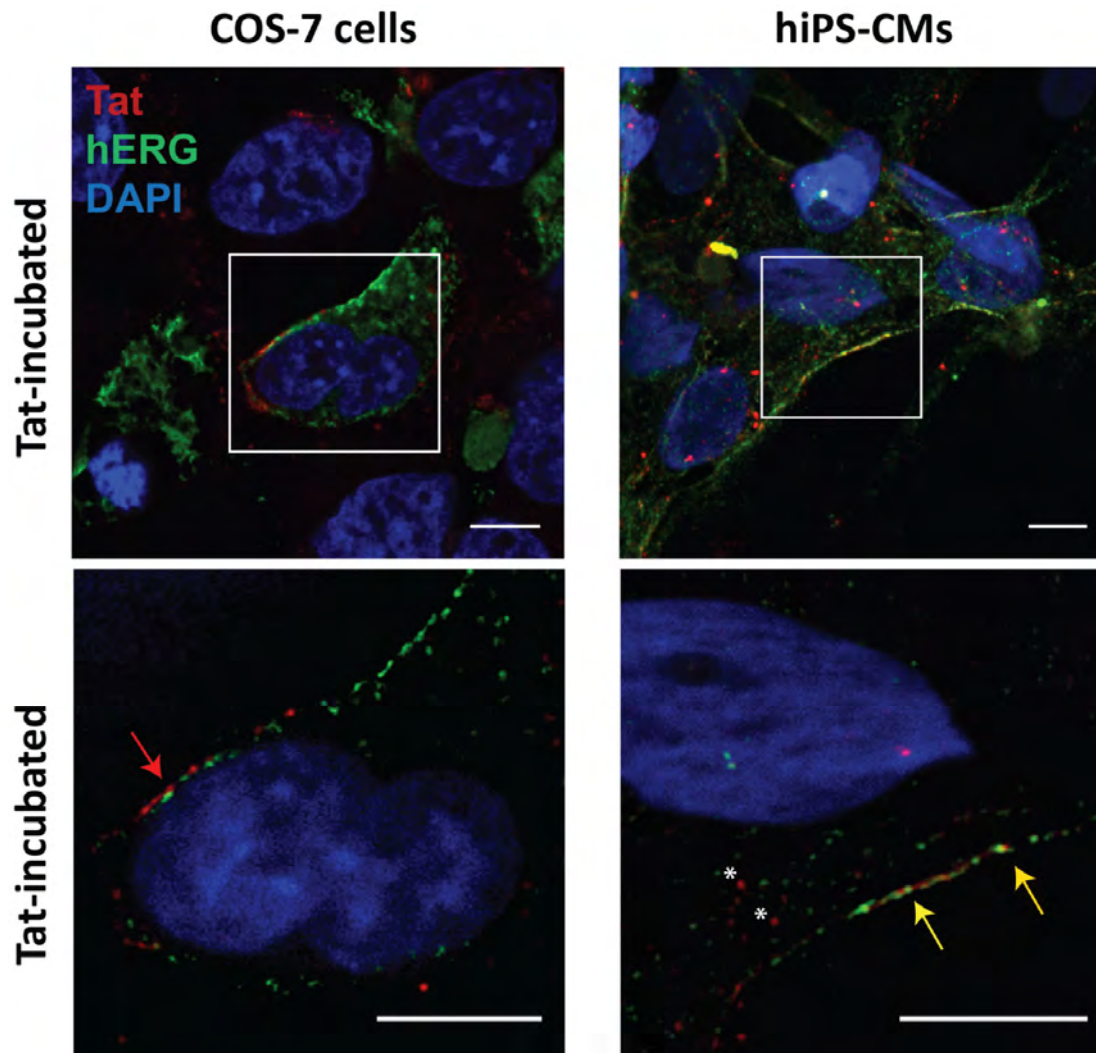
Figure 4

- protéine Tat : pas d'effet sur la densité de canaux à la membrane plasmique
- diminution du courant  $I_{Kr}$  par régulation de la fonction

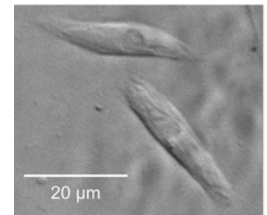
## Condition : application extracellulaire de la protéine Tat

- Localisation de la protéine Tat (immunomarquage et microscopie confocale)

Figure 5



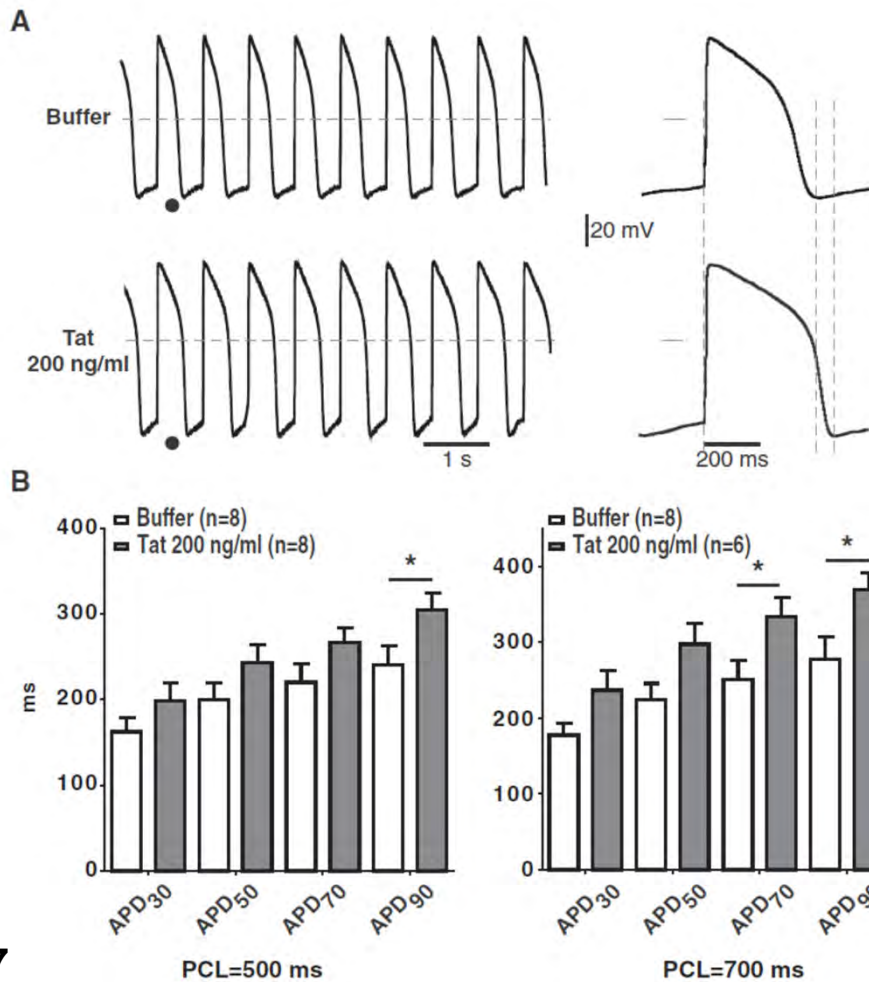
- **application de la protéine Tat : endocytose uniquement dans les cardiomyocytes**



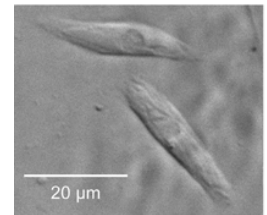
cardiomyocytes  
issus de cellules hiPS

**Condition : application extracellulaire de la protéine Tat**

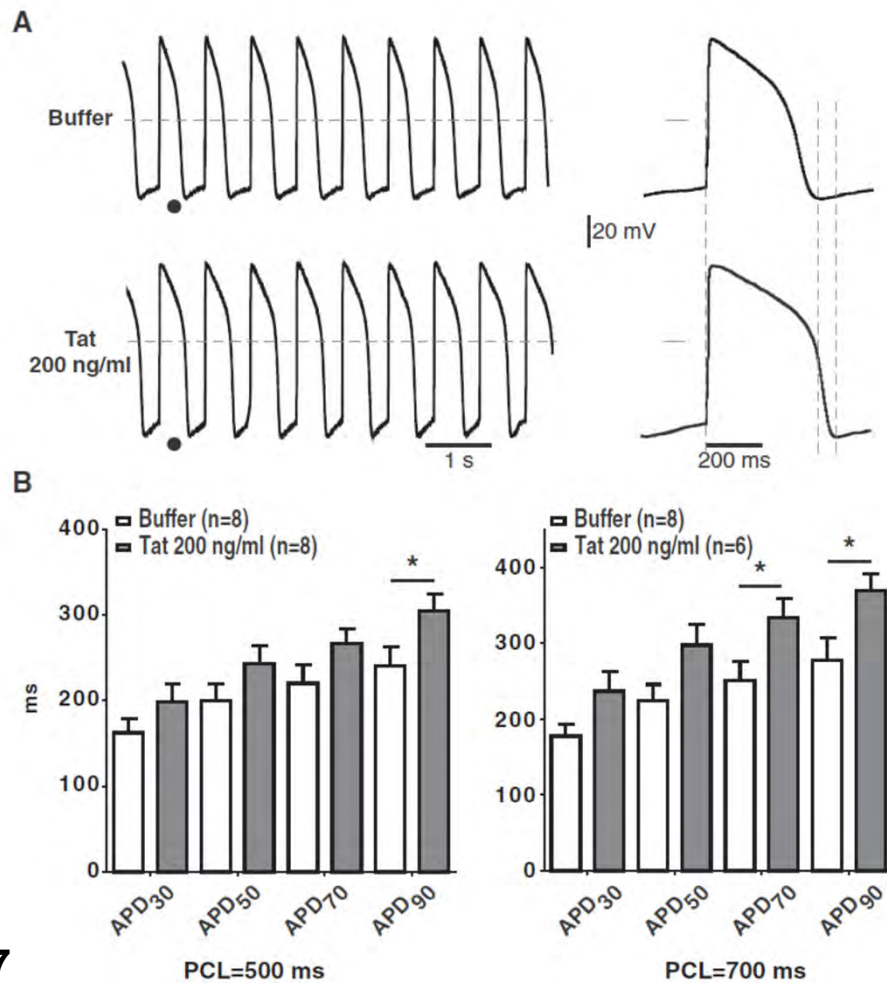
- potentiel d'action



**Figure 7**



cardiomyocytes  
issus de cellules hiPS



## Condition : application extracellulaire de la protéine Tat

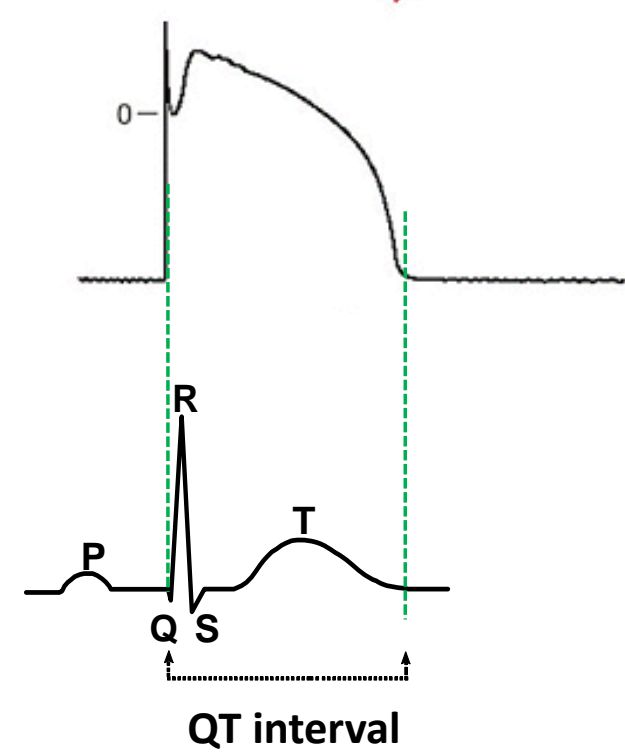
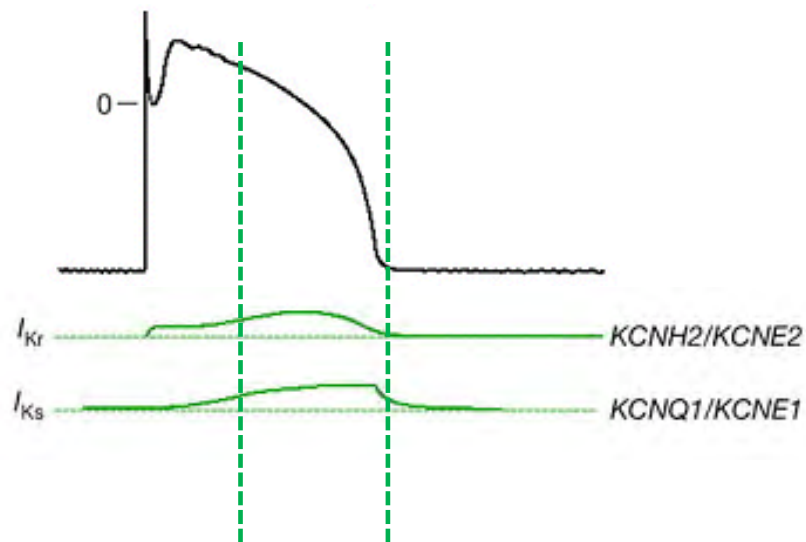
- potentiel d'action

- allongement de la durée du potentiel d'action induit par la Tat (phases tardives)

Figure 7

## Conclusions

"Altogether, these data obtained on human K<sup>+</sup> channels both in heterologous expression systems and in human cardiomyocytes suggest that Tat sequesters PIP<sub>2</sub>, leading to a reduction of I<sub>Kr</sub> and I<sub>Ks</sub>, and provide a molecular mechanism for QT prolongation in HIV-infected patients."



**l'institut du thorax**

**Mariam Jouni**

**Zeineb Es-Salah-Lamoureux**

**Olfat Malak**

**Zena Reda Al-Sayed**

**Jérôme Montnach**

**Virgine Forest**

**Béatrice Ollivier**

**Aurore Girardeau**

**Nathalie Gaborit**

**Gildas Loussouarn**

**Flavien Charpentier**

**Jean-Jacques Schott**

**Richard Redon**

**Guillaume Lamirault**

**Patricia Lemarchand**



**Isabelle Baró, PhD**

[isabelle.baro@univ-nantes.fr](mailto:isabelle.baro@univ-nantes.fr)

**L'unité de recherche de l'institut du thorax**

**Inserm UMR 1087 / CNRS UMR 6291**

**Nantes, France**

**iPSC core facility**

**Libanese University**

**Team 045: Stem cells**

**Kasem Zibara**

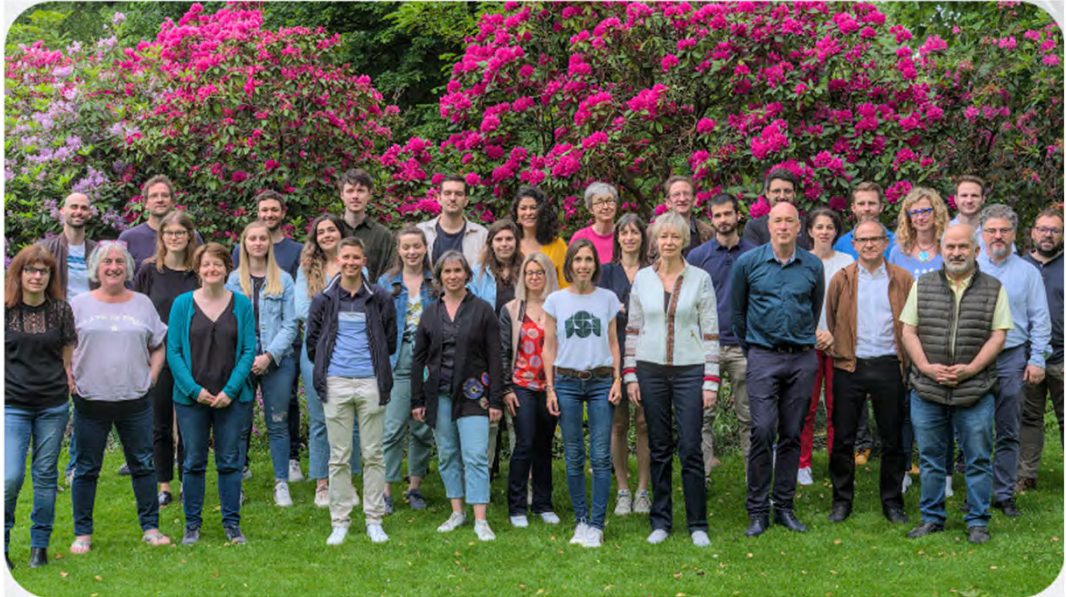
**l'institut du thorax CIC**

**Vincent Probst**

**Jean-Baptiste Gourraud**

**Stéphanie Chatel**

**Fundings**

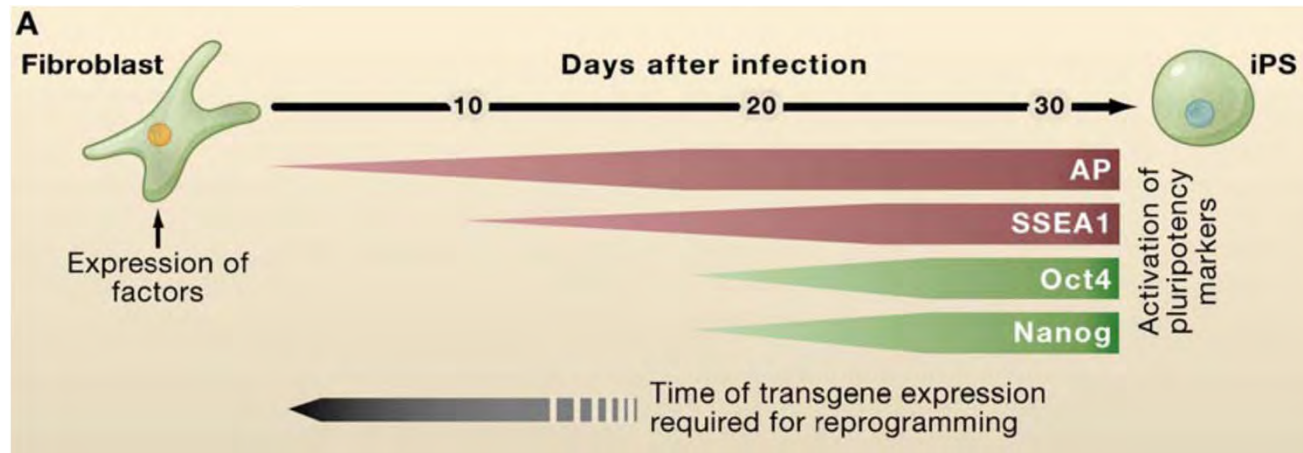


[umr1087.univ-nantes.fr](http://umr1087.univ-nantes.fr)



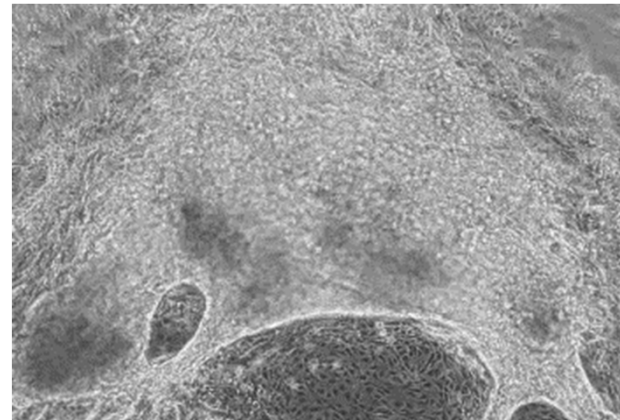
Daniel Buren et Patrick Bouchain, Les Anneaux, Quai des Antilles, Nantes, création pérenne Estuaire 2007 © Martin Argyrogiannis/LVAN

# De l'urine au cardiomyocyte

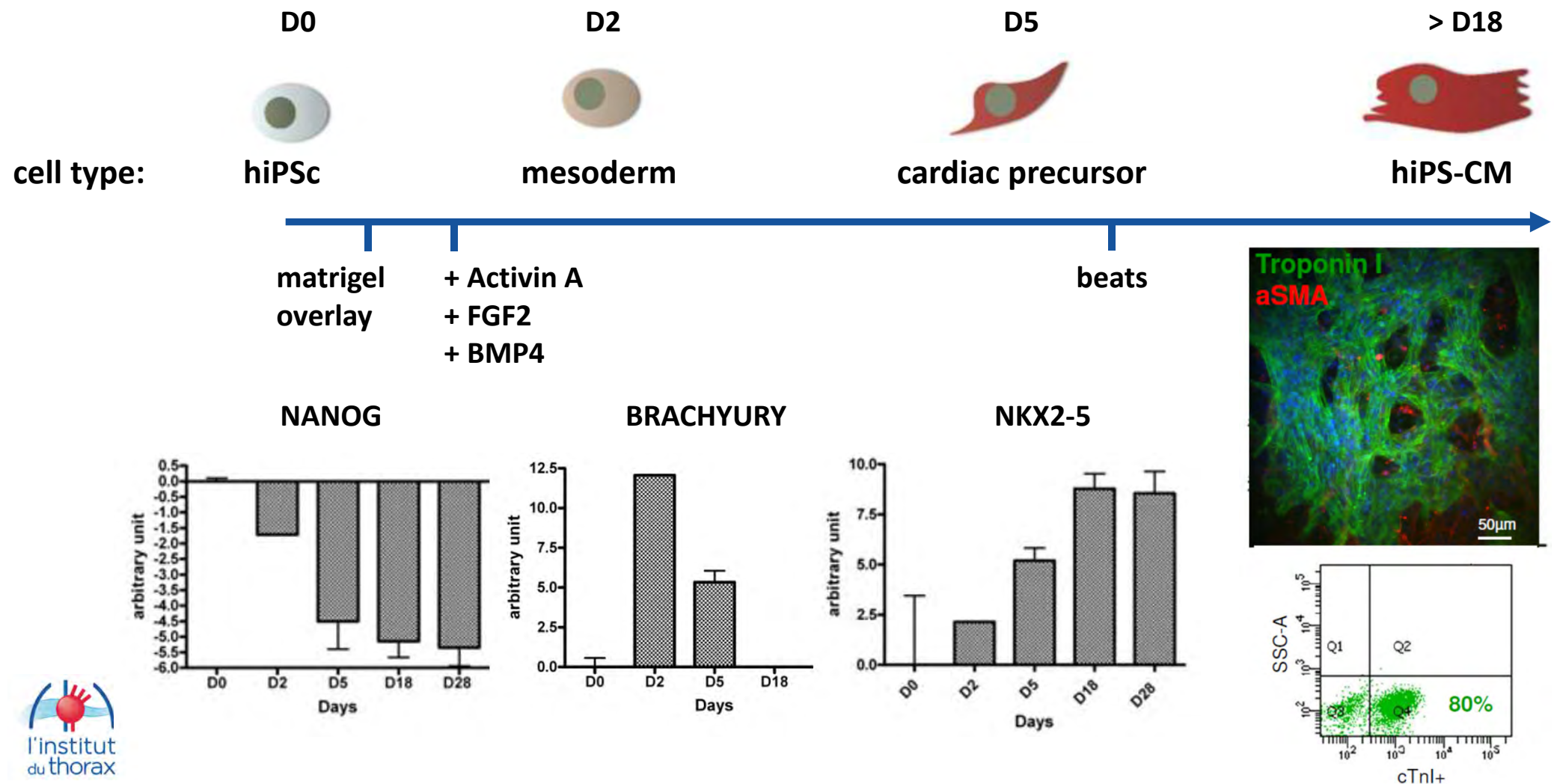


Reprogramming

Différentiation

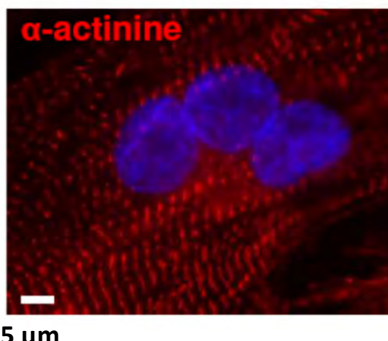
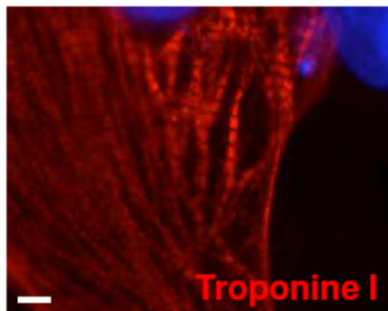
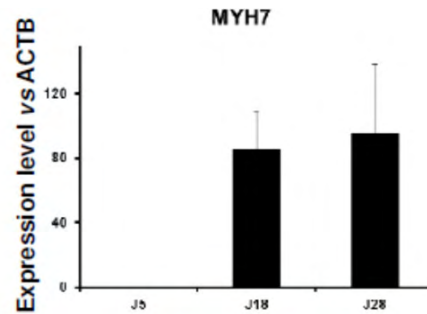


# Différenciation cardiomyctaire: caractérisation

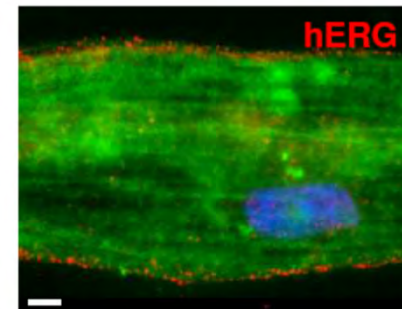
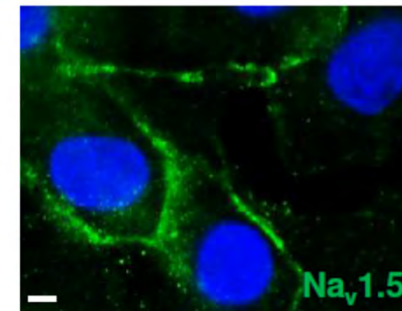
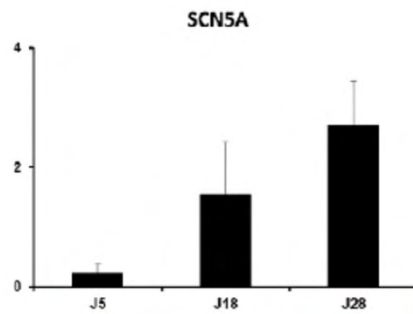


# hiPS-cardiomyocytes : caractérisation

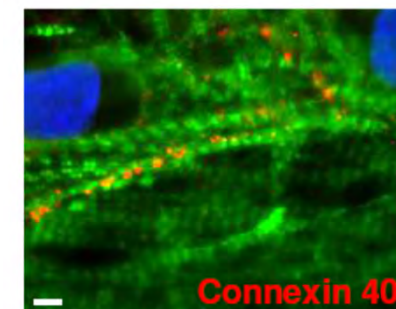
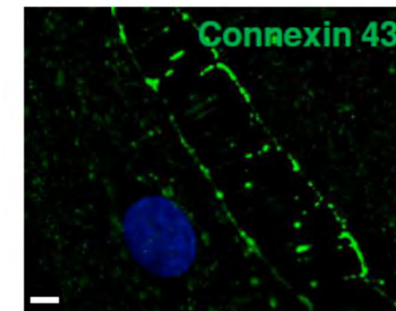
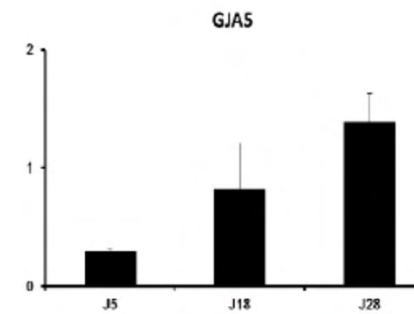
## sarcomeric organization



## ion channels



## gap junctions



## Ca<sup>2+</sup> homeostasis

